

МИНИСТЕРСТВО НАУКИ И ВЫСШЕГО ОБРАЗОВАНИЯ РОССИЙСКОЙ ФЕДЕРАЦИИ  
федеральное государственное бюджетное образовательное учреждение  
высшего образования  
«Тольяттинский государственный университет»

Институт машиностроения

(наименование института полностью)

Кафедра Проектирование и эксплуатация автомобилей  
(наименование)

23.05.01 Наземные транспортно-технологические средства  
(код и наименование направления подготовки, специальности)

Автомобили и тракторы

(направленность (профиль)/специализация)

## ДИПЛОМНЫЙ ПРОЕКТ

на тему Передвижной стапель для сборочных работ проекта «Формула-Студент»

Студент

С.С. Исаев

(И.О. Фамилия)

(личная подпись)

Руководитель

канд. техн. наук, доцент И.В. Турбин

(ученая степень, звание, И.О. Фамилия)

Консультанты

канд. техн. наук, доцент А.Н. Москалюк

(ученая степень, звание, И.О. Фамилия)

канд. экон. наук, доцент Е.А. Боргард

(ученая степень, звание, И.О. Фамилия)

канд. техн. наук, доцент С.А. Гудкова

(ученая степень, звание, И.О. Фамилия)

Тольятти 2020

## **АННОТАЦИЯ**

Настоящая выпускная квалификационная работа посвящена разработке технологических процессов сборки и перемещения опорных рам для спортивных болидов с применением передвижного стапеля.

В процессе работы над дипломным проектом проведены исследования технологического процесса сборки, транспортировки болидов с использованием передвижного стапеля ножничного типа. Проведены технологические расчеты конструктивных элементов, анализ и выбор составных частей, как производимых самостоятельно, так и закупочных.

Согласно технологическим и прочностным расчетам разработаны и оформлены конструкторские чертежи, которые представлены в настоящей работе. Апгрейд технологии и оборудования подкреплен экономическим эффектом, расчет которого приведен в специальной главе и, несомненно, соответствует требованиям безопасности и экологичности.

Во введении представлены материалы, отражающие актуальность настоящих разработок, сформулированы цель и задачи настоящих разработок.

Пояснительная записка выпускной квалификационной работы состоит из следующих специальных разделов: Расчет элементов опорной конструкции для болида. Технологический процесс сборки и соединения деталей стапеля с элементами модернизации технологических параметров. Конструкторско - графический раздел. Экологичность технологического процесса и безопасность труда. Расчет экономической эффективности прогрессивной технологии.

В дипломном проекте, представлена усовершенствованная планировка платформы учебно-производственного отделения «Формула-Студент». В производственном помещении спланирована эксплуатационная зона для базирования стапеля.

## **ABSTRACT**

This final qualification work is devoted to the development of technological processes for the Assembly and movement of support frames for sports cars using a mobile slipway. In the process of working on the diploma project, research was conducted on the technological process of Assembly and transportation of fireballs using a mobile scissor-type slipway. Technological calculations of structural elements, analysis and selection of components, both independently produced and purchased, were carried out.

According to the technological and strength calculations, the design drawings that are presented in this paper are developed and executed. The upgrade of technology and equipment is supported by the economic effect, the calculation of which is given in a special Chapter and, of course, meets the requirements of safety and environmental friendliness. The introduction presents materials that reflect the relevance of these developments, formulated the purpose and objectives of these developments.

The explanatory note of the final qualifying bachelor's work consists of the following special sections: Calculation of elements of the support structure for the car. The technological process of assembling and joining parts of the pile with elements of modernization of technological parameters. Design and graphic section. Environmental friendliness of the technological process and labor safety. Calculation of the economic efficiency of advanced technology.

In the diploma project, an improved layout of the platform of the educational and production Department "Formula-Student" is presented. In the production room, an operational zone for the slipway is planned.

# СОДЕРЖАНИЕ

ВВЕДЕНИЕ . . . . .	6
1 Командный проект «Формула студент ТГУ» . . . . .	
8	
1.1 История основания и развития проекта . . . . .	8
1.2 Студенческие автогонки . . . . .	13
1.3 Проектно-производственная мастерская «FS» . . . . .	18
1.4 Перечень значимых функций мастерской проектов «FS» . . . . .	20
1.5 Условия сборки каркаса спортивной машины . . . . .	21
2. Тяговый расчет действующего автомобиля «FormulaStudent» . . . . .	
23	
2.1 Расчет динамических свойств автомобиля . . . . .	
23	
2.2 Определение передаточного числа главной передачи . . . . .	26
2.3 Динамическая характеристика автомобиля . . . . .	29
2.4 Разгонные характеристики болида . . . . .	
30	
2.5 Расчет времени и пути разгона . . . . .	
32	
2.6 Мощностной баланс автомобиля . . . . .	
35	
2.7 Расчет топливно-экономической характеристики автомобиля . . . . .	
37	
3 Конструкторский раздел . . . . .	
39	
3.1 Техническое задание . . . . .	39
3.2 Техническое предложение . . . . .	41
3.3 Предварительный проектный расчет . . . . .	
45	

3.4 Расчеты основных элементов конструкции . . . . .	46
4 Безопасность и экологичность технического объекта . . . . .	51
4.1 Конструктивно-технологическая характеристика объекта . . . . .	51
4.2 Идентификация производственно-технологических и эксплуатационных профессиональных рисков . . . . .	54
4.3 Технические меры, применяемые для снижения рисков профессионального характера . . . . .	55
4.4 Функционирование объекта в чрезвычайных и аварийных ситуациях . . . . .	63
4.5 Выводы по разделу . . . . .	66
5 Расчет экономической эффективности стапеля для сборочных работ проекта «Формула-Студент» . . . . .	67
5.1 Определение себестоимости изготовления. . . . .	67
5.2 Определение «затрат на выплату заработной платы . . . . .	68
5.3 Определение» [2] затрат на содержание и эксплуатацию оборудования	
70	
5.4 Определение общей суммы затрат на изготовление конструкции автоприцепа для перевозки спортивных болидов . . . . .	71
ЗАКЛЮЧЕНИЕ . . . . .	72
СПИСОК ИСПОЛЬЗУЕМЫХ ИСТОЧНИКОВ . . . . .	
73	
ПРИЛОЖЕНИЕ А. Спецификация . . . . .	78



## **ВВЕДЕНИЕ**

Сообщество автомобильных инженеров (SAE) или «Формула Студент» было создано в конце семидесятых годов прошлого столетия (1978 г.) как система соревнования между студентами инженерно-технических направлений обучения. И только через три года были проведены первые командные соревнования.

В настоящее время командные соревнования «Формула Студент» приобрели широкомасштабный мировой уровень, где участвуют болиды четырех классов:

- с углеводородными приводами
- комбинированными (гибридными) приводами
- электрическими приводами
- и Баха SAE (ранее miniBaja).

Инициатива создания проекта «Formula-Student» принадлежит американским инженерам – автомобилистам ассоциации SAE. Ими разработаны нормативные правила, согласно которым соревновательный проект реализуется с периодичностью 1 год. С целью развития проекта ежегодно проводят обновление команд и формулируют современные и оригинальные задачи для членов ассоциации.

Проекта «Formula-Student» имеет значительные преимущества перед другими соревновательными студенческими системами, так как здесь участника могут проявить не только свои знания, но и свои способности в организации и управлении, в решении технических и инженерных задач, экономических вопросах. Проект дает возможность реализации участникам личных творческих идей как технического, так и маркетингового и рекламного характера.

Первыми участниками соревновательного проекта «Formula-Student» были студенты Московского автодорожного института (сейчас «МАДИ»). Студенческая команда будущих инженеров этого университета приняла

участие в соревнованиях еще в 2006г, после того как доцент кафедры инженерной педагогики С.В. Сафоненков вернулся из Европы. Международные соревнования впечатлили преподавателя, и он был полон энтузиазма развивать данный проект в России. В 2005 году Сафоненков нашел среди студентов последователей своих идей, целеустремленных и творческих личностей, которые объединились в команду под названием SEG-MADI. Совместными усилиями студентов и преподавателей был создан первый Российский болид FSM-1-600. Этот автомобиль прошел все стадии технического контроля и испытания на выносливость в Германии в 2006 г.

Конечно, огромная заслуга в успешном прохождении этапов соревнования принадлежала главному конструктору русского болида Александр Блинков.

С этого момента проект «Формула студент» стал завоевывать популярность в нашей стране. Через шесть лет на соревнованиях «Formula-Student», проходивших в Италии уже семь Российских команд представило свои оригинальные разработки. В начале учебного 2013 года, кроме коллектива из МАДИ, в соревнованиях принимали участие команды (Екатеринбург) следующих университетов: МАМИ, РУДН, МГТУ им. Баумана – все три Московские университеты; НГТУ (Новосибирск), ТИУ(Тюмень), УРГУПС (Екатеринбург). На этом этапе соревнований в Италии лучший результат показала дебютировавшая команда МГТУ им. Баумана, уровень их выступления был сравним с результатами опытных команд, неоднократных призеров соревнований.

# **1 Командный проект «Формула студент ТГУ»**

## **1.1 История основания и развития проекта**

Своим рождением инжиниринговый проект «Formula-Student» обязан американским инженерам – автомобилистам из Хьюстонского университета. Инициативная группа проекта начала свою работу в 1981 году. По прошествии трех десятилетий проект приобрел международный масштаб и завоевал огромную популярность у современных студентов высших учебных заведений. Импульсом для начала проекта стали спонтанные развлекательные соревнования студентов Техаса, которые выступали на газонокосилках, модернизированных в багги еще в 1978г.

Основная задача инженерного сообщества студентов – это собрать оригинальный болид по собственному проекту и принять участие в соревнованиях в группе автомобилей конкретного типа. Конечно, команда будущих инженеров должна самостоятельно разработать техническую и конструкторскую проектные документации для своего автомобиля, выбрать все узловые детали, собрать автомобиль по собственной технологии, и все это должно соответствовать регламенту соревновательного международного проекта. Кроме того, важно учитывать экономическую целесообразность своего проекта, и может быть даже подготовить бизнес-план для производства небольших партий своих спортивных автомобилей.



Рисунок 1.1 Первый Российский болид Формула Студент команды МАДИ

Как упоминалось выше, первооткрывателями соревнований стала команда МАДИ, их первый гоночный болид вошел в историю развития Российского проекта и представлен на рисунке 1.1. Вторыми были студенты из Московского Машиностроительного Университета. Команды этого университета в настоящее время являются постоянными участниками соревнований, добиваются неплохих результатов и прогрессируют в техническом плане. Их первый гоночный автомобиль представлен на рисунке 1.2.



Рисунок 1.2 Болид - первенец команды из МАМИ

Вслед за москвичами проект поддержали в Тольяттинском Государственном Университете. Наша тольяттинская команда была третьей Российской командой, принявшей участие в создании оригинального болида. История развития проекта «Формула студент» началась в 2007 г, когда была создана первая команда ТГУ «SPC Formula». Студенческая команда ТГУ впервые заявила на участие в международных соревнованиях «Formula Student» как проектанты гоночных автомобилей в 2008 году.

Представленный на рисунке 1.3 первый болид ТГУ, был спроектирован и собран в экспериментальной производственной лаборатории университета. Первое детище команды тщательно выверялся с регламентными требованиями международных соревнований. «Благодаря победам студенческой команды в конкурсных номинациях соревнований российских этапов, был засвидетельствован сравнительно высокий профессиональный уровень выполненных работ» [4].

Первый тольяттинский болид назвали Sprint 01 (см. рисунок 1.3), он был представлен на международной промышленной выставке в Самаре в 2009г. и соответствовал всем требованиям регламента проекта и безопасности в том числе. В этом же году была поддержана инициатива тольяттинской команды и проведен российский этап соревнований, где участвовали команды всего из трех, вышеназванных университетов. А при поддержке мера Тольятти Пушкина и создан второй, усовершенствованный болид Sprint 01M, который и был представлен на первых российских соревнованиях (рис1.4).



Рисунок 1.3 Первый гоночный автомобиль команды ТГУ проекта «формула-студент»



Рисунок 1.4 Первые болиды Тольяттинского государственного университета 2008 и 2009 гг.

Сезон 2013 был отмечен значительной активностью российских команд, их уже было 7. Их коллективная фотография представлена ниже (рисунок 1.5).

Инженерно- технические соревнования приобрели широкомасштабный размах в 2014году, когда был организован российский этап «Formula Student

Russia». Технические характеристики, безопасность и гонки на выносливость оценивали судьи мирового класса, специально приглашенные на мероприятие. Соревнования прошли с 4 по 7.09.14 на автодроме ADM Raceway. «Уже в 2015 году на Всероссийском Форуме «Студенческих инженерных проектов» ([www.fs-forum.ru](http://www.fs-forum.ru)) присутствовали 27 команд из разных ВУЗов» [4]. А в 2016 году было проведено семь официальных этапов соревнований в различных странах мира: Германии, Чехии, Испании, Венгрии и т.д. На соревнованиях в г. Тольятти (Российский этап) приняли участие 37 команд со всего мира.



Рисунок 1.5 Команды на соревнованиях Formula Student Italy 2013

Участники инженерно-технических соревнований проекта Formula SAE решают непростые комплексные задачи. Учащиеся высших учебных заведений занимаются как технической стороной вопроса- конструированием и проектированием гоночных облегченных автомобилей, и защищают свои разработки на соревнованиях. Так же они реализуют свои проекты в реальной жизни - подбирают детали, собирают автомобиль. Более того, создавая автомобиль они должны учитывать его проходимость, устойчивость, надежность и безопасность, чтобы показать хорошие

результаты на этапе гонок. И здесь существует огромный простор для воплощения их творческих идей.

## **1.2 Студенческие автогонки**

В этом году инженерно-спортивному проекту, созданному организацией инженеров-автомобилистов Society of Automotive Engineers, исполняется 42 года. В России эти соревнования завоевали большую популярность под названием «Формула Студент». Магистранты и студенты ВУЗов объединяются в инженерное сообщество, которое занимается разработкой конструкторско-технической документации, экономическим обоснованием, сборкой болида и его испытаниями. Используя собственные технические знания, творческий подход к решению инженерных задач команда совершенствует гоночный автомобиль определенного класса до технического состояния, соответствующего регламенту международных соревнований. Необходимо отметить еще одну важную цель проекта – всестороннее образование участников проекта. В процессе работы по созданию оригинального болида студенты получают необходимые в их дальнейшей профессиональной деятельности технические навыки, маркетинговый опыт, умения последовательно проходить путь от теоретических разработок до реального продукта. В совокупности со знаниями, получаемыми в процессе обучения, это способствует повышению их квалификации и мастерства как специалистов в машиностроительной области. Опыт, приобретенный во время разработки и создания болидов, является уникальным и дает будущим инженерам большое преимущество на рынке труда. Многие технические корпорации и более мелкие фирмы стремятся приобрести таких специалистов и даже вырастить их, оказывая всестороннюю поддержку в экономическом, информационном и техническом плане.

Инициаторами спортивно-технических соревнований выступили студенты Техасского университета и сформировали из отдельных любителей

гонок на болидах организованные сообщества. Первые 6 команд состязались в технических и спортивных достижениях в 1981 году. В настоящее время состязания проводят для различных серий гоночных автомобилей. В основном, это три класса болидов:

К первому классу относят внедорожники малого веса - «Мини-Баха».

Ко второму классу «Формула Студент» относят болиды с углеводородными или электрическими приводами.

К 3 классу «Формула Гибрид» относят гоночные легкие автомобили с силовой установкой гибридного типа.

В настоящее время интенсивно развиваются такие направления проекта как беспилотные летательные аппараты, снегоходные аппараты различных типов, суперэкономичные автомобили «Supermileage». По перспективам развития всех превосходят гоночные автомобили класса «Formula Electric».

Официальные соревнования в США представлены тремя сериями, из которых наиболее широкомасштабным является серия штата Мичиган. В последние годы на Мичиганском этапе в состав 120 команд, участвующих в студенческих состязаниях, вошло более 2000 будущих инженеров.

Значимый авторитет на международной арене имеют этапы Formula SAE, проводимые в Германии, Японии, Италии, Бразилии и Австралии. Однако, элитарными и самыми престижными считаются выступления команд на трассе в Сильверстоуне, Великобритания. Завоевывают свою популярность и неофициальные состязания, организованные в Австрии, Испании, Венгрии и некоторых других странах.

Российские соревнования «Formula Student» имеют достаточный авторитет и признание во всем мире, и потому собирают большое количество команд из университетов стран Запада и Востока. Международные соревнования способствуют тесному общению студентов из различных вузов мира, обмену опытом и знаниями, а значит содействуют совершенствованию их технических проектов и всестороннему развитию их личности. Работа над проектом болида никак не входит в состав основного учебного процесса и

занимает много времени. Несмотря на это, работа в команде над созданием гоночного автомобиля захватывает учащихся настолько, что становится главным увлечением жизни, практикой креативного направления.

В состав студенческой команды «Формула Студент» ТГУ как правило входят до сорока учащихся. Остов творческого сообщества образуют студенты кафедры «Проектирование и эксплуатация автомобилей» нашего университета.

Конструирование и технология сборки стапеля для спортивного болида является основной технико-исследовательской темой настоящей выпускной квалификационной работы. Болид – это легкий каркасный автомобиль, предназначенный для гонок по пересеченной местности. Именно каркас болида является его основой, которая несет основную нагрузку. Конструкционная прочность каркаса обеспечивается сочетанием различных механических свойств, таких как прочность, вязкость, выносливость, упругость и др. Подбирая материалы для конструкций и деталей, способы их соединения и крепления, нужно учитывать необходимость комбинирования достаточной легкости автомобиля с его надежностью, прочностью и устойчивостью. Технология сборки болида должна соответствовать регламенту соревнований и обеспечивать точность и высокую скорость работ. Важно учесть все нюансы технологии сборки еще на стадии конструктивной разработки. Опыт показал, что применение сборного стапеля делает процесс сборки болида более точным и, соответственно, способствует повышению качества всей технической системы, что позволит добиться команде более высоких результатов на соревнованиях «Формула-студент».

Все этапы разработки болида должны соответствовать основному документу проекта - регламенту. Регламент содержит последовательный список этапов соревновательного проекта от первого - разработка конструкторского проекта гоночного автомобиля, до последнего – плансхема движения по трассе. Наряду с основными мероприятиями «Формулы-

студент» проводятся уникальные экономические и маркетинговые пиар-компании. В связи с чем, существует необходимость присутствия в команде не только инженеров-машиностроителей и технологов, но и специалистов других направлений, например экономистов, юристов, менеджеров, художников, журналистов и т.п. Капитан команды определяется в процессе сотрудничества и общения членов команды, как правило, это человек с выраженными лидерскими качествами, высокой культуры общения и высокого интеллектуального уровня. Состав команды подбирается в зависимости от поставленных задач и психологической совместимости личностей. Структурные подразделения проекта и их взаимодействие между собой схематично показаны на рисунке 1.6. Студенты, участники проекта, формируются в группы согласно их деятельности, хотя смысловая нагрузка их работы и специализация решаемых задач может меняться в каждом новом проекте.

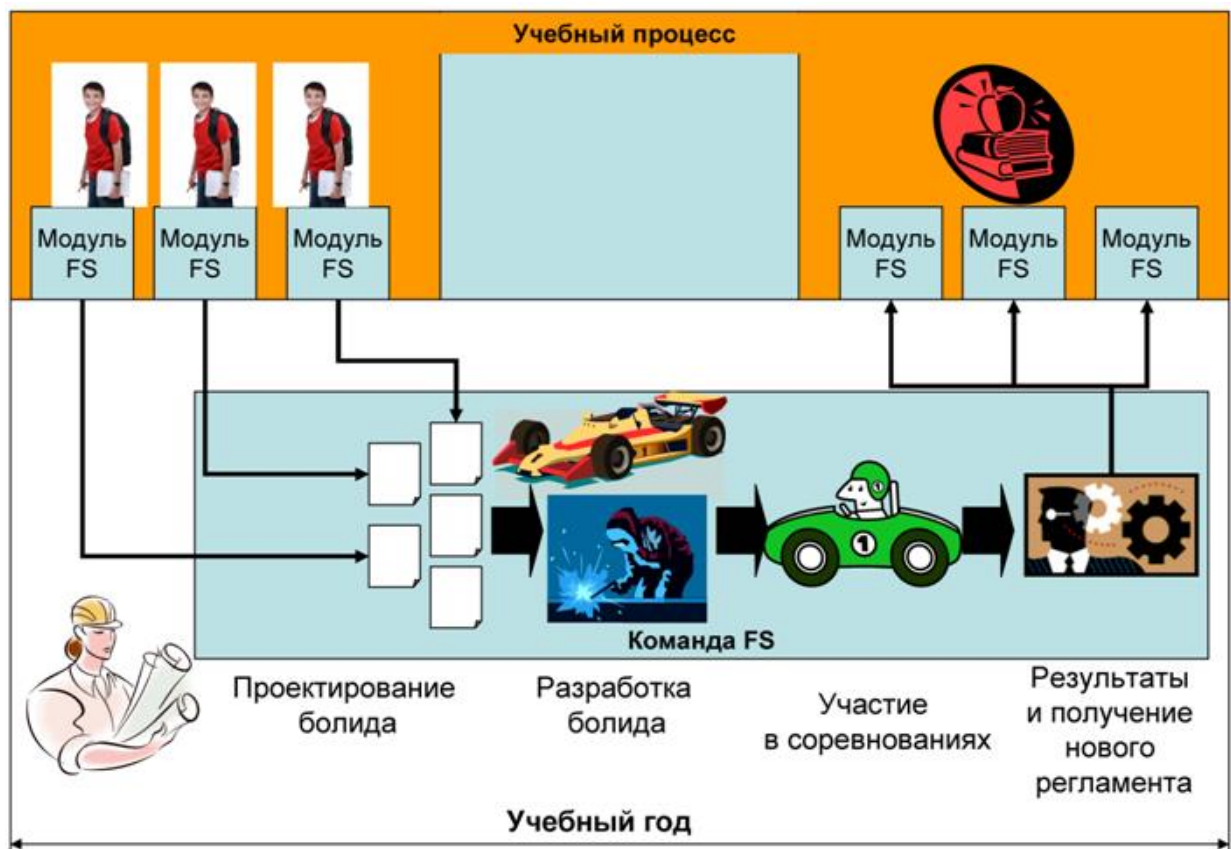


Рисунок 1.6 – Схема взаимодействия структурных подразделений, участвующих в проекте «Формула –студент»

Ежегодно может происходить обновление состава команды, приходят новые студенты и аспиранты с уникальными предложениями, способностями и возможностями, а выпускники вуза покидают проект. Но полного расформирования команды не случается даже по окончании проекта. Смена командного состава может достигать 50%, что обеспечивает и обновление, и стабильность сообщества. Сочетание двух последних факторов создает условия для эффективной и творческой работы по достижению поставленной цели всей учебно-технической мастерской.

Экспериментальная техническая мастерская является одним из элементов образовательного процесса, хотя проектная деятельность «Формула-студент» отсутствует в основном учебном плане вуза. Работа студентов в проектно-производственной лаборатории по созданию нестандартной технической системы проходит без отрыва от основного учебного процесса [4]. Нестандартный характер обучения, практическая работа, нацеленная на конкретный результат, делают невозможным массовое участие обучающихся университета в разработках.

Создание гоночного болида и его сборка не является конечной целью проекта. Оригинальный автомобиль еще необходимо доработать согласно требованиям регламента, провести защиту своего проекта и испытать его на гонках. Именно соревновательный аспект выступлений позволяют выявить инженерную смекалку, творческую находчивость, техническую подготовленность университетских команд различных стран и городов.

Программа выступлений содержит два основных аспекта соревновательных этапов – это статический и динамический. Судьи оценивают команды после каждой регламентированной серии выступлений: презентация проекта, технический доклад о конструктивных особенностях гоночного авто, анализ технических оригинальных решений, экономический анализ, надежность и выносливость авто на гонках и его скоростные характеристики [3].

### 1.3 Проектно-производственная мастерская «FS»

Ключевыми задачами, приводящими разработчиков к конкретному результату, являются технико-графическое оформление разработок, осуществление сборочного процесса болида, регулировка основных узлов и испытание авто. Все этапы задуманы и реализуются как обучающая программа, являющаяся частью специальных дисциплин учебного процесса.

Некоторые плановые дисциплины преподают в альтернативном варианте в университете с целью наполнения участников команды теоретическими знаниями и практическими навыками, необходимыми для создания оригинального болида.

Недавно в ТГУ нашла свое воплощение многолетняя задумка о создании проектно- производственной мастерской, «как отдельной модульной единицы ядра «SPC Formula TGU»» [4]. Кроме того, производственная мастерская несет на себе нагрузку и образовательного процесса. По форме и структуре мастерская соответствует проектному центру. На рисунке 1.7 схематично представлена практико-ориентированная площадка Тольяттинского государственного университета.

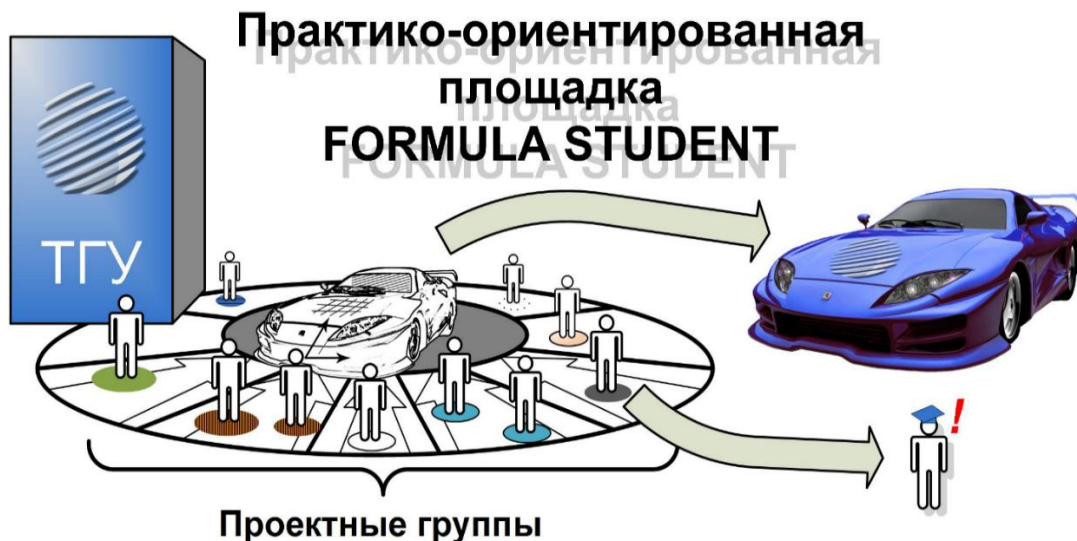


Рисунок 1.7 – Площадки мастерской проектно-производственного центра «Formula Student»

Проектный центр «FS» создавался, в основном, для выполнения работ, связанных с подготовкой конструкторской и технологической документации проекта и разработки комплектующих элементов и узлов технического агрегата. Эти работы являются основополагающими, потому что сборка болида без конструкторско-проектной документации недопустима и нереальна. На площадках проектного центра решается одна из важнейших задач – создание современного и эстетичного экстерьера автомобиля. «Трёхмерная графика в CAD-моделях активно используется при разработке элементов проектируемых машин. Обязательная отчётность в виде информационно-аналитических данных представляется пояснительными записками, наборами диаграмм или презентационными результатами испытаний технических характеристик проектируемых моделей. В помощь при получении документированного результата используются современные системы САЕ» [4]. Результаты технических исследований оформляются в виде расчетного документа, параллельно подготавливаются и финансово-экономические отчеты. При разработке гоночного автомобиля оформляются презентации членов команды по техническому и рекламному направлениям.

Вышеперечисленные этапы проектирования и создания болида являются непрестанными задачами проектно-производственного центра. Процесс создания гоночного автомобиля постоянно сопровождается принятиями организационных и инженерных решений, которые представляют собой неотъемлемую часть общей творческой работы.

### 1.3.1 Постановка задач по проектированию

Разработка болида и его воплощение в реальный технический продукт происходит в соревновательной форме участников команды. Для чего все задачи, поставленные перед командой, сначала разделяют по видам (направлениям), а затем еще и по сложности. Первостепенные задачи, непосредственно относящиеся к конструированию и производству авто, принято классифицировать на инженерные и организационные. Наиболее

актуальные и доминирующие задачи — это доводка и настройка отдельных узлов технической системы, и монтаж болида.

### 1.3.2 Организация работ в мастерской «FS»

Производство гоночных машин на экспериментальном участке мастерской невозможно без четко отработанных связей между исполнительными отделениями.



Рисунок 1.8 – Производственные отделения участка FS и их отраслевое назначение.

### 1.4 Перечень значимых функций мастерской проектов «FS»

1. Разработка и оформление проектно-технической документации по стандартам регламента проекта «Формула-студент» SAE.
2. Обеспечение финансовой поддержки проекта. Решение данной задачи возможно путем привлечения спонсоров, получения грантов, получение заработка от дополнительных производств, и даже личного вклада участников проекта.
3. Построение легкого гоночного автомобиля, конкурентно-способного на соревнованиях «Formula-Student».

4. Адаптирование производственного процесса создания болида к образовательному процессу, как практико-ориентированной формы обучения.

### 5. Формирование команды проекта «Formula-Student».

Создание университетской команды «FS» является точкой отсчета для начала проекта. Участники команды структурируются в специализированные группы, занимающиеся решением конкретных вопросов. Научный руководитель и капитан команды формулируют задачи для каждой группы. Из числа преподавателей учреждают куратора, ответственного за проект. Каждая группа в команде отвечает за свое направление, имея конкретную цель. По результатам их работы оценивается продуктивность каждой группы.

Достижение общей цели происходит через взаимодействие различных отраслевых направлений. Слаженная работа отдельных групп команды обеспечивается четкой постановкой технических заданий для каждого направления проекта. При возникновении затруднений и разногласий, все вопросы разрешаются путем обсуждения на коллективном собрании.

### **1.5 Условия сборки каркаса спортивной машины**

Разрабатывая техническую концепцию нового гоночного автомобиля и осуществляя его проектирование и сборку, учащиеся получают опыт и приобретают умения по многим инженерным направлениям обучения.

Сначала студенты создают план-проект, где определяют особенности и преимущества своей версии авто, осуществляют планирование производства и выполняют экономические расчеты. Затем разрабатывают дизайн автомобиля с учетом эргономики водительского места, создают опытный прототип, согласовывая свои идеи с новейшими технологиями в производстве всех технических узлов авто- двигателя, коробки передач, системы управления и т.п. При разработке проекта участники рассматривают возможности снижения аэродинамического сопротивления воздуха, уменьшения веса авто, увеличения прочности и устойчивости. Решение всех

вышеназванных вопросов, требует от студентов широкого кругозора и знаний по таким дисциплинам, как механика, сопромат, материаловедение, физика прочности, сварка, экономика, технология машиностроения, организация производства, рекламное дело, логистика и многих других.

Технология сборки болида подразумевает необходимость мобильности каркаса автомобиля в производственном помещении цеха или мастерской при осуществлении различных операций. Настоящая работа представляет собой один из вариантов решения данной проблемы. Стальной каркас гоночного авто вместе с остальными системами весит около 350 килограмм, а его длина составляет 2.5 метра.

Такую достаточно тяжелую конструкцию необходимо закрепить на опорных элементах и обеспечить ее нетрудное перемещение, целесообразное для определенного вида работ: окраски, сварки, установки конструкционных узлов, крепления деталей и т.п.

Тщательный анализ конструктивных характеристик технических узловых элементов конструкции и технологического процесса сборки и их совершенствование позволил добиться более высокого уровня эффективности эксплуатации оборудования при полном соблюдении экологических и пожарных норм и обеспечении безопасности труда.

В работе представлены разработки устройства, предназначенного для таких перемещений, которое позволяет еще и располагать каркас на различных высотах, что обеспечивает удобство сборки. Вариантом такого подъемного устройства является ножничный складной механизм с рабочим столом, на котором закрепляется каркас болида. Данное устройство, устанавливается на колеса, что обеспечивает легкость передвижения и экономичность конструкции. «Работы, проводимые с помощью данного устройства, могут быть связаны со снятием – установкой колес, регулировкой тормозов, настройкой подвесок. Преимущества ножничных механизмов состоят в их компактности, малых габаритах, быстродействии

механизмов и простоты эксплуатации. Они обладают малой массой и стоимостью, их удобно хранить и обслуживать» [3].

## 2 «Тяговый расчет действующего автомобиля «Formula Student»

### 2.1 Расчет динамических свойств автомобиля

Общие исходные данные автомобиля «Formula Student» (получены в ходе конструкторско-технологической практики). Расчет производится в соответствии с методикой, описанной учебным пособием [3].

Подготовка исходных данных для расчета:

Геометрические размеры автомобиля:

Длина – 2510 мм, ширина – 1456 мм, высота – 1140 мм.

Исходя из геометрических размеров автомобиля, определим площадь его поперечной геометрической проекции» [2]:

$$F = 0,8 \cdot B_e \cdot H_e \quad (2.1)$$

$$F = 0,8 \cdot 1,456 \cdot 1,140 = 1,332 \text{ м}^2$$

«Определим радиус качения шины размерности 205/75R13 устанавливаемой на автомобиль «Formula Student».

$$r_k = r_{CT} = (0,5 \cdot d + \kappa \cdot \lambda \cdot B), \quad (2.2)$$

где  $d$  – установочный диаметр шины в м.,  $\lambda_z = 0,85$  – коэффи. деформации шины,  $B$  – высота шинного профиля.» [2]

$$r_k = 0,5 \cdot 13 \cdot 0,0254 + 0,85 \cdot 0,75 \cdot 0,2 = 0,267 \text{ (м.)}$$

Определим полную массу автомобиля «Formula Student».

$$m_A = m_0 + n \cdot m_{\Pi} + n \cdot m_{\delta}, \quad (2.3)$$

где  $m_{\Pi} = 75$  кг (масса одного пассажира),  $m_{\delta} = 10$  (масса багажа на одного пассажира),  $n=1$  (количество человек).

$$m_A = 225 + 1 \cdot 75 = 300 \text{ (кг.)}$$

Полный вес автомобиля:

$$G_A = m_A \cdot g$$

(2.4)

где  $g$  – ускорение свободного падения,  $\text{м/с}^2$ .

$$G_A = 300 + 9,81 = 2943 \text{ Н}$$

«Для заднеприводной компоновки автомобиля (ведущих задних колес), принимается распределение осевой нагрузки в соотношении 46% на передних колесах и 54% на задних.» [2]

«Вес, приходящийся на ведущие колеса:

$$F = 0,8 \cdot B_e \cdot H_e$$

Вес, приходящийся на ведомые колеса:» [3]

«Коэффициент полезного действия трансмиссии принимаем:  $\eta_{\text{тр}} = 0,85$ .

Коэффициент сопротивления качению принимаем:  $f_0 = 0,045$ .

Коэффициент сцепления колеса с дорогой, принимаем для дорожного покрытия – сухой асфальтобетон:  $\Phi = 0,8$ .

Коэффициент аэродинамического сопротивления, принимаем для автомобиля «Formula Student»:  $C_x = 0,32$ .

Показатели сопротивления воздуха

«Коэффициент обтекаемости

$$k = \frac{C_x \cdot \rho}{2} \quad (2.5)$$

где  $\rho = 1,293$  – плотность воздуха в нормальных условиях,  $\text{кг}/\text{м}^3$ .»

$$k = \frac{0,32 \cdot 1,293}{2} = 0,206$$

Передаточные числа трансмиссии для расчета действующей комплектации автомобиля «Formula Student», принимаем (данные получены на практике) [2]):

$U_1 = 2,5; U_2 = 1,75; U_3 = 1,33; U_4 = 1,095; U_5 = 0,956; U_6 = 0,869;$

$U_{\text{ГП.}} = 3,46$ .

«Расчет внешней скоростной характеристики (ВСХ) двигателя  
Мощность двигателя при максимальной принятой скорости  
движения:» [2]

$$N = N_{\max} \cdot (a\lambda + b\lambda^2 + c\lambda^3) \quad (2.6)$$

где  $a$ ,  $b$ ,  $c$  – эмпирические коэффициенты ( $a = b = c = 1$  для карбюраторного двигателя),

$$\lambda = \frac{\omega_{\max}}{\omega_N} = \frac{837,76}{733,04} = 1,14$$

$$N_V = 43011 \cdot (1,14 + 1,14^2 + 1,14^3) = 41207 \text{ Вт}$$

Рассчитываем ВСХ двигателя по формуле:

$$N_e = N_{\max} \left( \frac{\omega_e}{\omega_N} + \left( \frac{\omega_e}{\omega_N} \right)^2 - \left( \frac{\omega_e}{\omega_N} \right)^3 \right) \quad (2.7)$$

где  $\omega_e$  – текущее значение угловой скорости коленвала, рад/с;

$\omega_N$  – угловая скорость коленвала при максимальной мощности, рад/с (733,04 рад/с).

$N_e$  – текущее значение эффективной мощности двигателя, Вт.

Для построения кривой эффективного момента  $M_e$  применяем формулу:

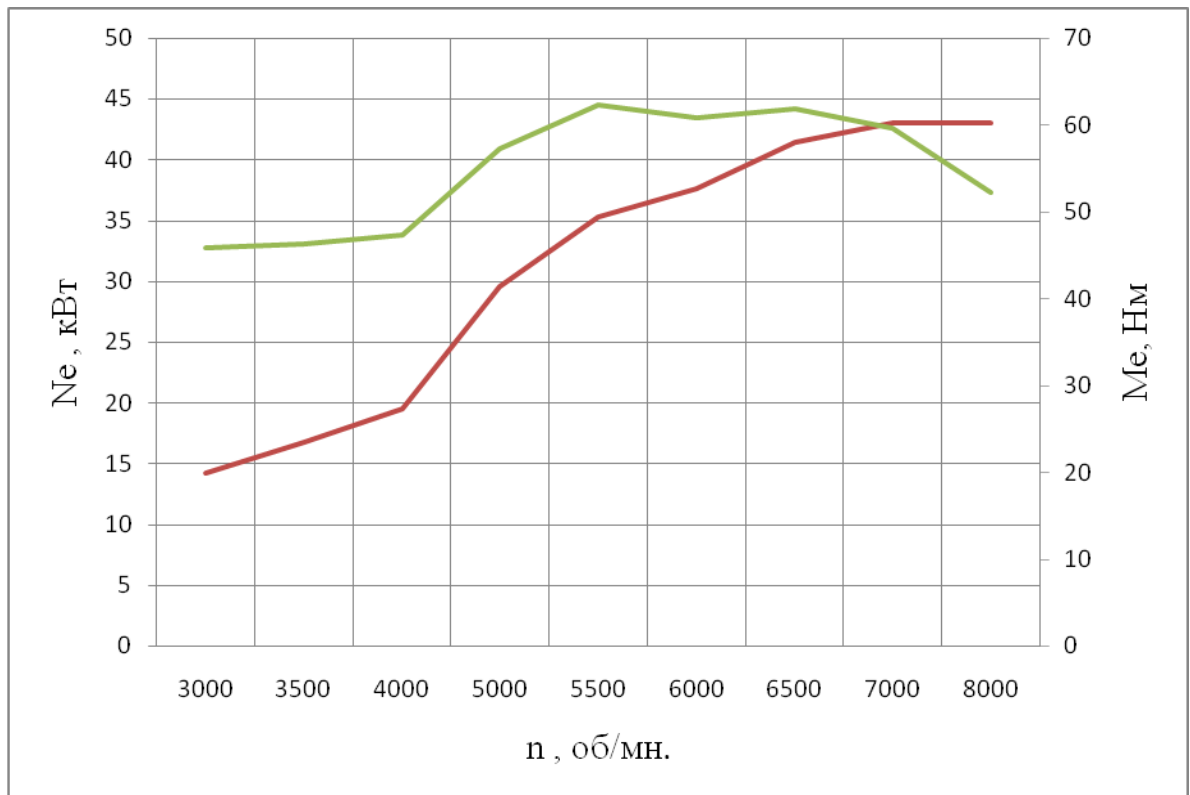
$$M_e = \frac{N_e}{\omega_e} \quad (2.8)$$

Рассчитываем зависимости  $N_e(\omega_e)$  и  $M_e(\omega_e)$ . Результаты расчетов сводим в таблицу «2.1 и представляем в виде графика.

Ниже, представлена характеристика в табличном виде (таблица 2.1) и в виде графика (рисунок 2.1).

Таблица 2.1 – Результаты расчета внешней скоростной характеристики» [2]

$n_e, \text{об/мин}$	$\omega_e, \text{рад/с}$	$N_e(\omega_e)$	$M_e(\omega_e)$
3000	314,1592653	14,2472308	45,8002519
3500	366,5191429	16,7843017	46,3060082
4000	418,8790205	19,5359384	47,2956151
5000	523,5987756	29,5907479	57,2389569
5500	575,9586531	35,3320922	62,3126421
6000	628,3185307	37,6326608	60,7641359
6500	680,6784082	41,4567934	61,8221759
7000	733,0382858	43,0106837	59,5609494
8000	837,7580409	42,9999649	52,22135



«Рисунок 2.1 – Внешняя скоростная характеристика двигателя автомобиля

## 2.2 «Определение передаточного числа главной передачи

Передаточное число главной передачи  $U_0$  определяется, исходя из заданного значения максимальной скорости автомобиля  $V_{max}$ :

$$U_0 = \frac{r_k \cdot \omega_{max}}{u_k \cdot V_{max}} \quad (2.9)$$

где  $U_k = U_3 = 0,87$  – передаточное число высшей передачи в коробке передач автомобиля, на которой обеспечивается максимальная скорость;

$$U_0 = \frac{0,267 \cdot 837,758}{0,87 \cdot 74,4} = 3,46$$

Для дальнейших расчетов принимаем значение главной передачи, принятой в задании на курсовой проект  $U_0=3,46$ .» [2]

«Дальнейшие расчеты проводим по повышенному ряду передаточных чисел (повышенная передача в раздаточной коробке).

### Силовой баланс автомобиля

Уравнение силового баланса:

$$F_T = F_D + F_B + F_I \quad (2.10)$$

где  $F_T$  – сила тяги ведущих колес, Н;

$F_D$  – сила дорожного сопротивления, Н;

$F_B$  – сила сопротивления воздуха, Н;

$F_I$  – сила сопротивления разгону автомобиля, Н (не учитываем).

Силу тяги на разных передачах рассчитывают по формуле:

$$F_{Ti} = \frac{U_{ki} \cdot U_0 \cdot M_e \cdot \eta_{TP}}{r_k} \quad (2.11)$$

Сила аэродинамического сопротивления воздуха:

$$F_B = k \cdot F \cdot V_a^2 \quad (2.12)$$

Сила дорожного сопротивления автомобиля (без учета сопротивления подъему):

$$F_D = G_A \cdot f \quad (2.13)$$

где  $f = f_0 \cdot (1 + \frac{V_a^2}{2000})$  – зависимость коэффициента трения качения от скорости движения автомобиля.

Пользуемся выбранными при расчете ВСХ значениями  $\omega_e$ , приводя в соответствие с ними скорости автомобиля на разных передачах.  
Результаты расчетов занесем в таблицу 2.2» [2]

Таблица 2.2 – Результаты расчета баланса сил на разных передачах

$\omega_e$	314,16	366,52	418,88	523,60	575,96	628,32	680,68	733,04	837,76	
$M_e$	45,80	46,31	47,30	57,24	62,31	60,76	61,82	59,56	52,22	
1 передача	V	9,70	11,32	12,93	16,17	17,78	19,40	21,02	22,64	25,87
	$F_T$	1260,8	1274,7	1301,9	1575,6	1715,3	1672,7	1701,8	1639,5	1437,5
	$f$	0,020	0,021	0,022	0,023	0,023	0,024	0,024	0,025	0,027
	$F_b$	6,5	8,84	11,55	18,04	21,83	25,98	30,5	35,37	46,19
	$F_d$	61,63	62,63	63,78	66,55	68,17	69,94	71,86	73,94	78,55
2 передача	V	13,86	16,17	18,48	23,10	25,41	27,72	30,03	32,34	36,96
	$F_T$	882,58	892,27	911,34	1102,94	1200,70	1170,86	1191,25	1147,68	1006,25
	$f$	0,022	0,023	0,023	0,025	0,026	0,028	0,029	0,030	0,034
	$F_b$	13,26	18,04	23,57	36,83	44,56	53,03	62,23	72,18	94,27
	$F_d$	64,51	66,55	68,91	74,56	77,86	81,47	85,39	89,63	99,05
3 передача	V	18,23	21,27	24,31	30,39	33,43	36,47	39,51	42,55	48,63
	$F_T$	670,72	678,13	693,62	838,23	912,53	889,86	905,35	872,24	764,75
	$f$	0,023	0,025	0,026	0,029	0,031	0,033	0,036	0,038	0,044
	$F_b$	22,95	31,24	40,80	63,76	77,14	91,81	107,75	124,96	163,21
	$F_d$	68,64	72,18	76,26	86,04	91,75	98,00	104,80	112,14	128,45
4 передача	V	22,15	25,84	29,53	36,91	40,60	44,30	47,99	51,68	59,06
	$F_T$	552,21	558,31	570,24	690,12	751,30	732,63	745,38	718,12	629,63
	$f$	0,025	0,027	0,029	0,034	0,036	0,040	0,043	0,047	0,055
	$F_b$	33,86	46,09	60,20	94,06	113,81	135,44	158,96	184,35	240,79
	$F_d$	73,30	78,51	84,52	98,96	107,38	116,61	126,63	137,46	161,52
5 передача	V	25,37	29,60	33,82	42,28	46,51	50,74	54,96	59,19	67,65
	$F_T$	482,11	487,43	497,85	602,52	655,93	639,63	650,76	629,96	549,70
	$f$	0,026	0,029	0,031	0,038	0,041	0,046	0,050	0,055	0,066
	$F_b$	44,42	60,46	78,97	123,40	149,31	177,69	208,54	241,86	315,90
	$F_d$	77,80	84,64	92,53	111,47	122,52	134,62	147,77	161,98	193,54
6 передача	V	27,91	32,56	37,21	46,51	51,16	55,82	60,47	65,12	74,42
	$F_T$	438,24	443,08	452,55	547,69	596,23	581,42	591,54	569,91	499,68
	$f$	0,028	0,031	0,034	0,042	0,046	0,051	0,057	0,062	0,075
	$F_b$	53,76	73,18	95,58	149,34	180,70	215,05	252,39	292,71	382,32
	$F_d$	81,78	90,06	99,61	122,53	135,90	150,55	166,46	183,66	221,86

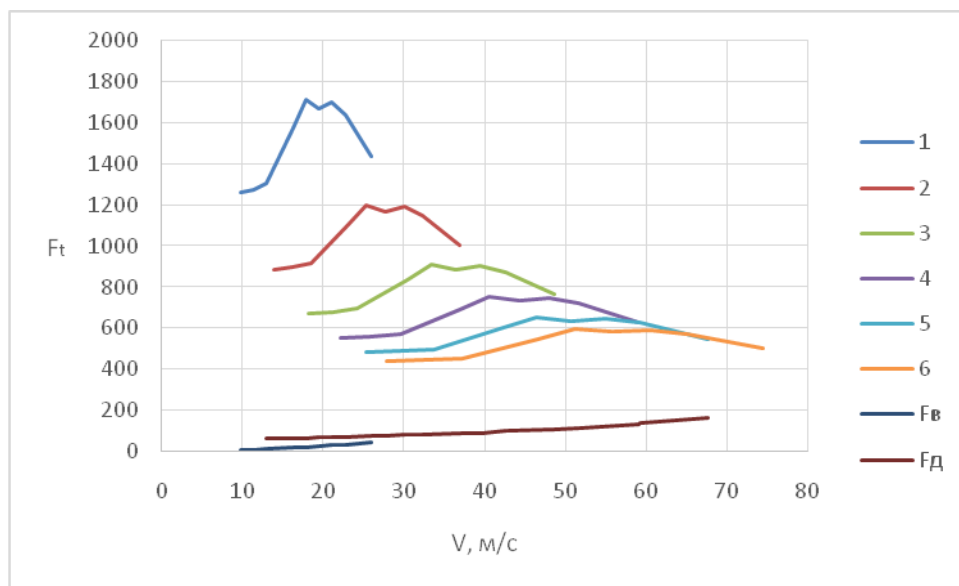


Рисунок 2.2 – Графики тягового баланса автомобиля

### 2.3 Динамическая характеристика автомобиля

$$D = \frac{F_t - F_b}{G_A} \quad (2.14)$$

Данная формула расчета баланса сил позволяет рассчитать «динамические характеристики болида» и построить зависимости динамического фактора  $D$  в функции скоростей движения для разных передачах коробки передач, основанных на расчетах при загрузке автомобиля.»

Данные расчета представлены в таблице 2.3 и на графиках рисунка 2.3.

Для учета влияния момента пробуксовки ведущих колес, динамический фактор сцепным свойствам определяется:

$$D_{CQ} = \frac{G_{CQ} \cdot \varphi}{G_A} = \frac{1471,5 \cdot 0,8}{2943} = 0,4$$

Таблица 2.3 - Динамические характеристики расчета

$\omega_e$ , рад/с	Динамический фактор $D$					
	I	II	III	IV	V	VI
314,16	0,393	0,273	0,203	0,163	0,137	0,121
366,52	0,397	0,274	0,203	0,161	0,134	0,116
418,88	0,405	0,278	0,204	0,160	0,131	0,112
523,60	0,489	0,334	0,243	0,187	0,150	0,125
575,96	0,531	0,363	0,262	0,200	0,159	0,130

628,32	0,516	0,351	0,250	0,187	0,145	0,115
680,68	0,524	0,354	0,250	0,184	0,139	0,106

«Продолжение таблицы 2.3

733,04	0,503	0,337	0,234	0,167	0,121	0,087
837,76	0,436	0,286	0,189	0,122	0,073	0,037

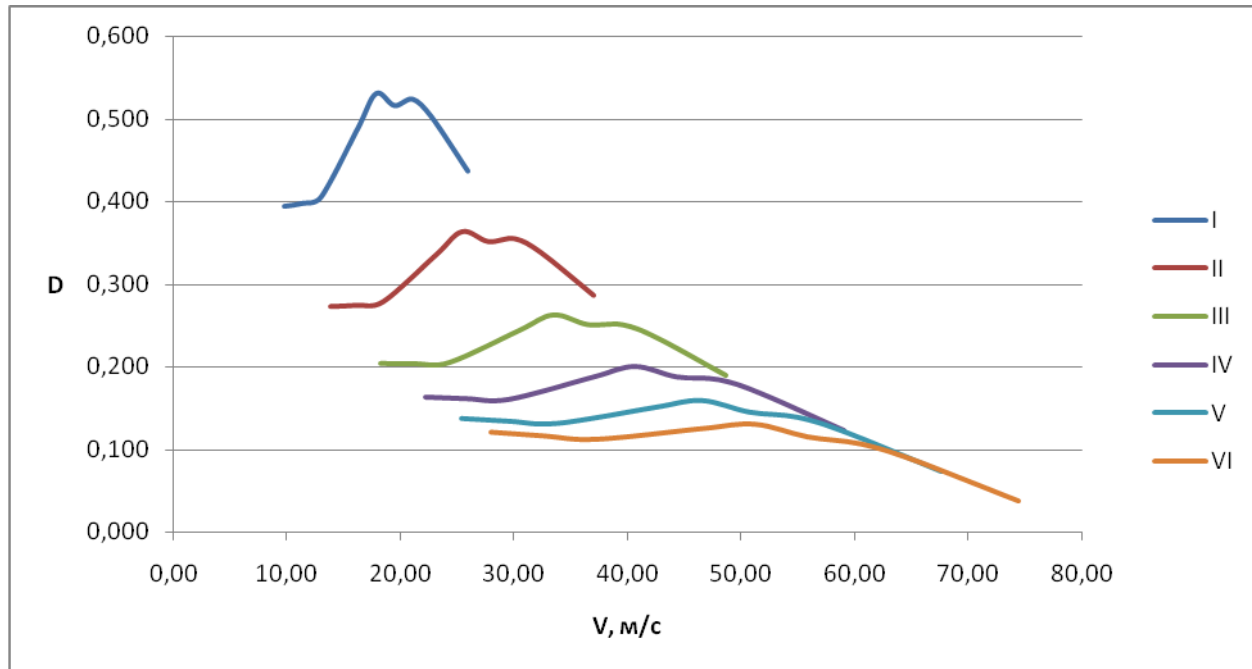


Рисунок 2.3 – Динамические характеристики передач трансмиссии

## 2.4 Разгонные характеристики болида

Для режима «разгона» определяются значения ускорений при движении автомобиля на горизонтальном участке дороги. Предусматривается, что дорога обладает твердым покрытием хорошего качества. Режим максимального использования мощности двигателя и отсутствие пробуксовки ведущих колес. Значения ускорений определяются выражением:»

$$j = \frac{(D - f) \cdot g}{\delta_{RP}} \quad (2.15)»$$

[2]

где  $\delta_{RP} = 1 + (\delta_1 + \delta_2 \cdot U_K^2)$  – коэффициент, учитывающий влияние вращающихся масс двигателя. Он определяется отдельно для каждой передачи:

$$\delta_{KP1} = 1 + (\delta_1 + \delta_2 \cdot U_1^2) = 1 + (0,05 + 0,05 \cdot 2,5^2) = 1,3625$$

$$\delta_{KP2} = 1 + (\delta_1 + \delta_2 \cdot U_2^2) = 1 + (0,05 + 0,05 \cdot 1,75^2) = 1,2031$$

$$\delta_{KP3} = 1 + (\delta_1 + \delta_2 \cdot U_3^2) = 1 + (0,05 + 0,05 \cdot 1,33^2) = 1,1384$$

$$\delta_{KP4} = 1 + (\delta_1 + \delta_2 \cdot U_4^2) = 1 + (0,05 + 0,05 \cdot 1,095^2) = 1,1099$$

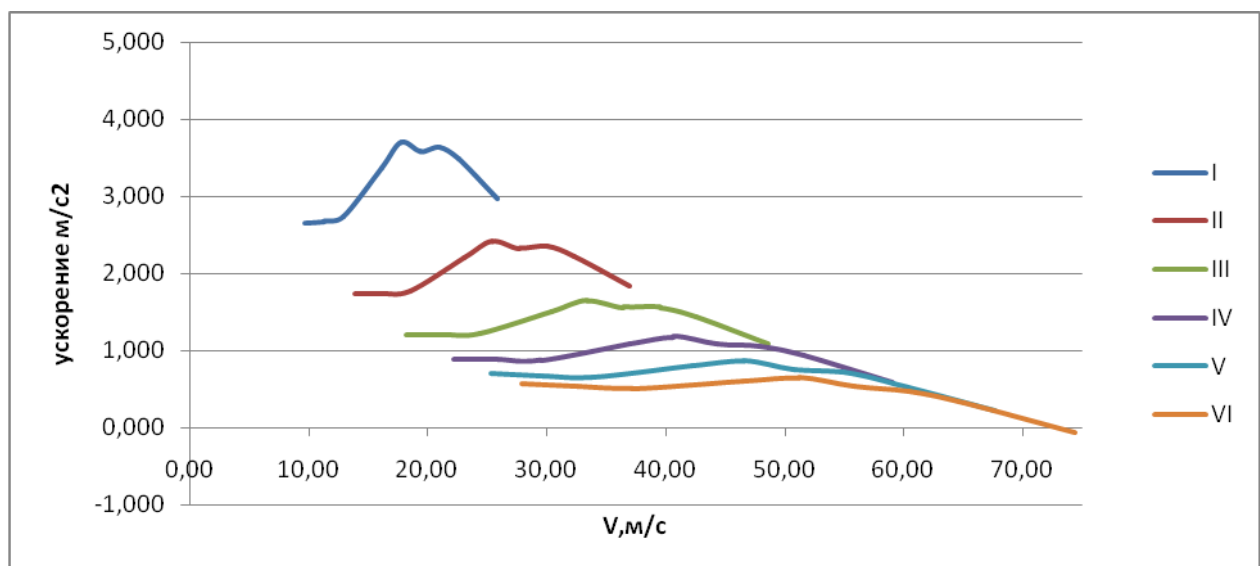
$$\delta_{KP5} = 1 + (\delta_1 + \delta_2 \cdot U_5^2) = 1 + (0,05 + 0,05 \cdot 0,956^2) = 1,0957$$

$$\delta_{KP6} = 1 + (\delta_1 + \delta_2 \cdot U_6^2) = 1 + (0,05 + 0,05 \cdot 0,869^2) = 1,0877$$

Результаты расчета ускорений при разгоне представлены в таблице 2.4 и на рисунке 2.4 графиков зависимости  $j = f(V)$

Таблица 2.4 – Значения ускорений разгона

$\omega_e$ , рад/с	Ускорение $j$ , м/с <sup>2</sup>					
	I	II	III	IV	V	VI
314,16	2,648	1,729	1,201	0,892	0,700	0,573
366,52	2,675	1,741	1,199	0,878	0,674	0,538
418,88	2,734	1,774	1,211	0,873	0,655	0,507
523,60	3,371	2,199	1,503	1,078	0,799	0,606
575,96	3,695	2,414	1,649	1,177	0,864	0,647
628,32	3,584	2,322	1,560	1,080	0,753	0,530
680,68	3,642	2,349	1,558	1,055	0,711	0,465
733,04	3,482	2,221	1,438	0,929	0,575	0,317
837,76	2,975	1,831	1,091	0,583	0,214	0,064

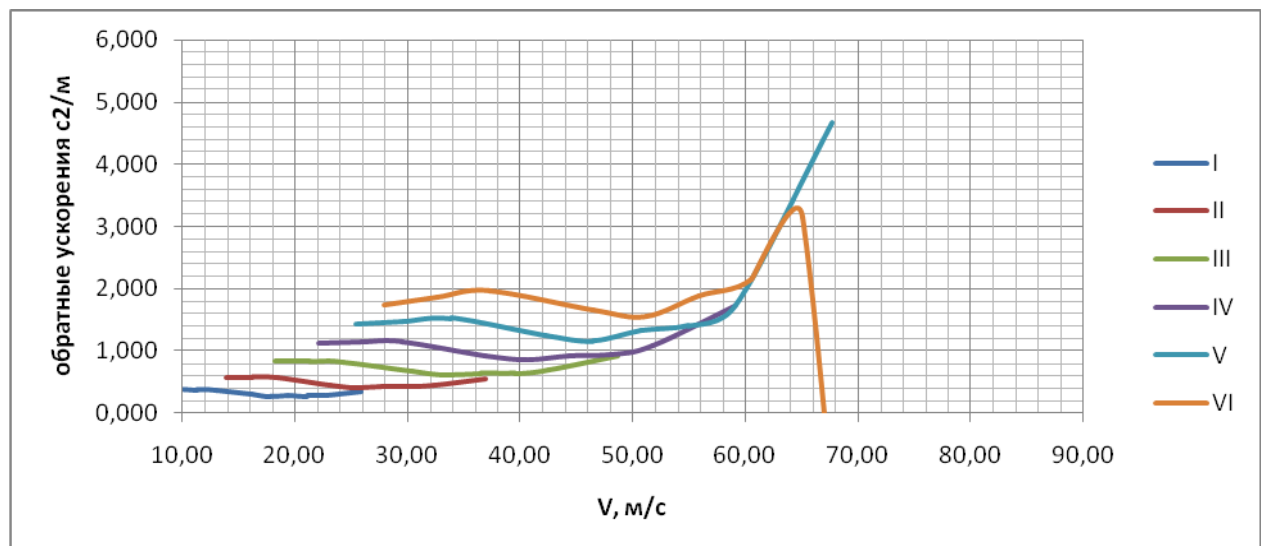


«Рисунок 2.4 – Графики ускорений автомобиля

Обратные ускорения определяются как  $(1/j)$ , а их значения заносятся в столбцы таблицы 2.5. Величины ускорений стремятся к нулю при скоростях  $V$ , близких к максимальным, поэтому для расчетов можно ограничиться скоростями  $V = (0,8 \dots 0,9) V_{\max}$ .»

Таблица 2.5 – Расчетные величины обратных ускорений

$\omega_e$ , рад/с	Величина, обратная ускорению $1/j$ , $\text{с}^2/\text{м}$					
	I	II	III	IV	V	VI[2]
314,16	0,378	0,578	0,833	1,121	1,429	1,745
366,52	0,374	0,574	0,834	1,139	1,483	1,858
418,88	0,366	0,564	0,826	1,146	1,526	1,971
523,60	0,297	0,455	0,665	0,928	1,252	1,650
575,96	0,271	0,414	0,607	0,850	1,157	1,545
628,32	0,279	0,431	0,641	0,926	1,320	1,887
680,68	0,275	0,426	0,642	0,948	1,407	2,151
733,04	0,287	0,450	0,695	1,076	1,740	3,153
837,76	0,336	0,546	0,917	1,714	4,679	-15,62



«Рисунок 2.5 –Графики зависимостей обратных ускорений

## 2.5 Расчет времени и пути разгона

Для определения времени и пути разгона болида используется графоаналитический способ. Этот способ заключается в использовании сумм конечных величин вместо интегрирования:

$$\Delta t = \int_{V_i}^{V_{i+1}} \frac{1}{j} dV \approx \left( \frac{1}{j_{CP}} \right)_{i+1} \cdot (V_{i+1} - V_i) \quad (2.16)$$

С этой целью на каждом интервале кривой обратных ускорений считается, что ускорение болида является постоянным при разгоне: [2]

$j = \text{const}$ , соответственно величины  $(1/j) = \text{const}$ . Их значения определяют соответственно выражения:

$$\left(\frac{1}{j}\right)_k = \frac{(1/j)_{k-1} + (1/j)_k}{2} \quad (2.17)$$

где  $k$  – интервал определенного порядкового номера.

На графике  $(1/j)$  в пределах  $\Delta V_k$  точные значения площадей меняют на величины площадей прямоугольников, имеющих размеры  $\Delta V_k$  и  $\left(\frac{1}{j_{CP}}\right)_k$ , таким образом производится интегрирование приближенным способом:» [2]

$$\Delta t = \left(\frac{1}{j_{CP}}\right)_k \cdot (V_k - V_{k-1}) \quad (2.18)$$

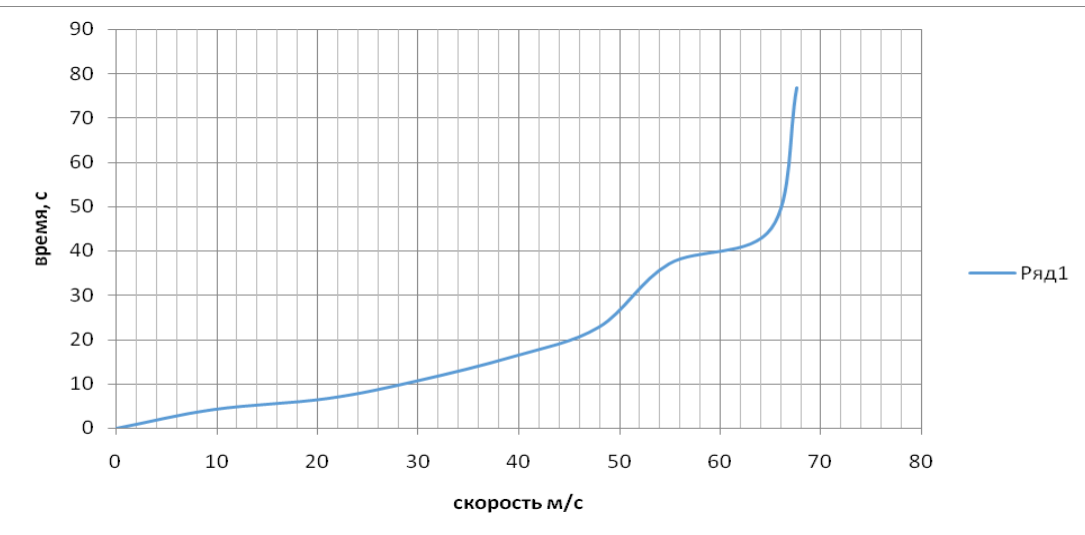
$$t_1 = \Delta t_1, t_2 = \Delta t_1 + \Delta t_2, t_n = \sum_{k=1}^n \Delta t_k$$

где  $t_1$  – интервал времени набора скорости от  $V_0$  до  $V_1$ ;  
 $t_2$  – интервал времени набора скорости до  $V_2$ .

Значения параметров приведены в таблице 2.6

Таблица 2.6 – Параметры скорости и времени при разгоне

$V_a$ , м/с	$t$ , с
9,70	4,274
21,02	6,747
30,03	10,784
39,51	16,224
47,99	22,839
54,96	37,124
65,12	45,100
67,65	76,791



«Рисунок 2.6 –Зависимость времени разгона болида

При помощи графического интегрирования функции  $t=f(V)$  аналогичным способом производится расчет пути разгона  $S$  от скорости автомобиля.

При этом способе производится разбивка кривой  $t=f(V)$  при помощи временных интервалов, на каждом из которых определяются» [2] «соответствующие им скорости  $V_{cpk}$ .

В интервале  $\Delta t_k$  вычисленная площадь элементарного прямоугольника представляет путь, пройденный автомобилем между отметками  $t_{k-1}$  и  $t_k$ , при движении с постоянной скоростью  $v_{cpk}$ .

Площадь элементарного прямоугольника может быть вычислена следующим способом:

$$\Delta S = V_{cpk} \cdot (t_k - t_{k-1}) = V_{cpk} \cdot \Delta t_k \quad (2.19)$$

где  $k=1\dots m$  – соответствующий интервальный номер, когда  $m$  определяется как ( $m=n$ ).

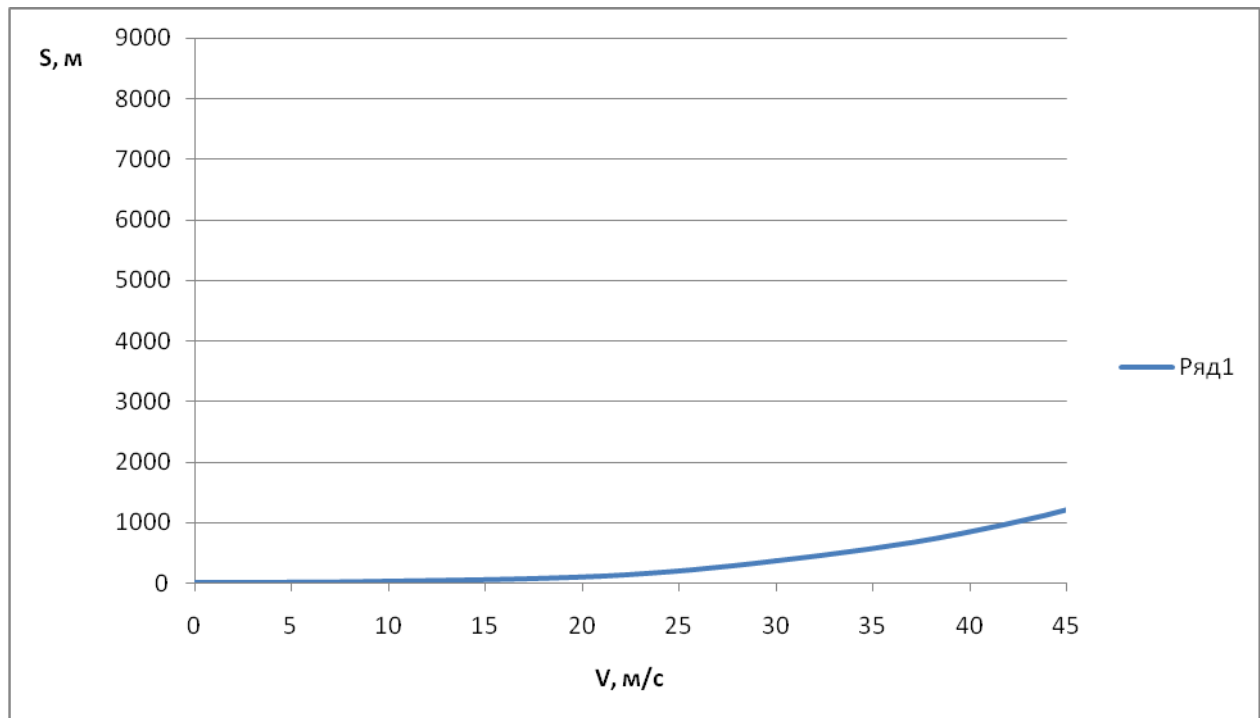
Вычисление пути, пройденного при разгоне от скорости  $V_0$  до скорости  $V_1$ :  $S_1=\Delta S_1$ , до скорости  $V_2$ :  $S_2=\Delta S_1+\Delta S_2$ , до скорости  $V_n$ :  $S_n = \sum_{k=1}^m \Delta S_k$ .

Вычисленные значения пути разгона заносятся в таблицу 2.7

Таблица 2.7 – Зависимость пути разгона и скорости движения

$V_a$ [2], м/с	$S$ , м
----------------	---------

9,70	20,73
21,02	120,10
30,03	367,86
39,51	821,80
47,99	1536,26
54,96	2871,13
65,12	4558,95
67,65	7723,40



«Рисунок 2.7 – График пути разгона автомобиля

## 2.6 Мощностной баланс автомобиля

Уравнение мощностного баланса:

$$N_T = N_e - N_{TP} = N_f + N_n + N_B + N_d \quad (2.20)$$

где  $N_T$  — тяговая мощность, подводимая к ведущим колесам, Вт;

$$N_T = N_e \cdot \eta_{TP} = N_e \cdot 0,91$$

$N_{TP}$  — мощность, теряемая в агрегатах трансмиссии, Вт;

$N_f = F_f \cdot V$  — мощность, затраченная на преодоление сил сопротивления качению колес, Вт;

$N_n = F_n \cdot V$  — мощность, затраченная на преодоление сил сопротивления

подъему ( $N_T = 0$ ), Вт;

$N_B = F_B \cdot V$  – мощность, затраченная на преодоление сил сопротивления воздуха, Вт;

$N_d = F_d \cdot V$  – мощность, затраченная на преодоление силы инерции автомобиля ( $N_d = 0$ ), Вт.» [2]

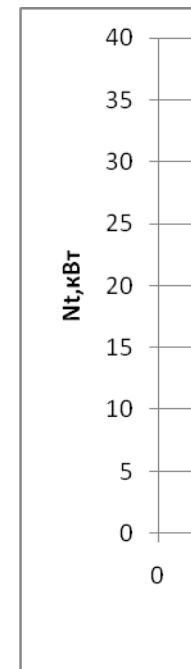
«Для выбранных ранее интервалов по угловой скорости коленвала двигателя и скорости автомобиля рассчитываем значения мощностного баланса, заполняем таблицу 2.8 и строим графики.

Вверх от кривой  $N_f$  откладываем значения мощности сопротивления воздуха  $N_B$ .

Таблица 2.8 – Рассчитанные значения мощностного баланса

$n_e, \text{рад/с}$ [2]	3000	3500	4000	5000	5500	6000	6500	7000	8000	
Вт	14,247	16,784	19,536	29,591	35,332	37,633	41,457	43,011	43,000	
1 передача	V, м/с	9,7	11,32	12,93	16,17	17,78	19,4	21,02	22,64	25,87
	$N_T, \text{кВт}$	12,230	14,430	16,834	25,477	30,498	32,450	35,772	37,118	37,196
	$N_B, \text{кВт}$	0,063	0,095	0,149	0,292	0,388	0,504	0,641	0,801	1,195
	$N_d, \text{кВт}$	0,598	0,709	0,825	1,076	1,212	1,357	1,507	1,674	2,032
2 передача	V, м/с	13,86	16,17	18,48	23,10	25,41	27,72	30,03	32,34	36,96
	$N_T, \text{кВт}$	12,233	14,428	16,842	25,478	30,510	32,456	35,773	37,116	37,191
	$N_B, \text{кВт}$	0,184	0,292	0,436	0,851	1,132	1,470	1,869	2,334	3,484
	$N_d, \text{кВт}$	0,894	1,076	1,273	1,722	1,978	2,258	2,564	2,899	3,661
3 передача	V, м/с	18,23	21,27	24,31	30,39	33,43	36,47	39,51	42,55	48,63
	$N_T, \text{кВт}$	12,227	14,424	16,862	25,474	30,506	32,453	35,770	37,114	37,190
	$N_B, \text{кВт}$	0,418	0,664	0,992	1,938	2,579	3,348	4,257	5,317	7,937
	$N_d, \text{кВт}$	1,251	1,535	1,854	2,615	3,067	3,574	4,141	4,772	6,247
4 передача	V, м/с	22,15	25,84	29,53	36,91	40,60	44,30	47,99	51,68	59,06
	$N_T, \text{кВт}$	12,231	14,427	16,839	25,472	30,503	32,456	35,771	37,112	37,186
	$N_B, \text{кВт}$	0,750	1,191	1,778	3,472	4,621	6,000	7,628	9,527	14,221
	$N_d, \text{кВт}$	1,624	2,029	2,496	3,653	4,360	5,166	6,077	7,104	9,539
5 передача	V, м/с	25,37	29,60	33,82	42,28	46,51	50,74	54,96	59,19	67,65
	$N_T, \text{кВт}$	12,231	14,428	16,837	25,475	30,507	32,455	35,766	37,287	37,187
	$N_B, \text{кВт}$	1,127	1,790	2,671	5,217	6,944	9,016	11,461	14,316	21,371
	$N_d, \text{кВт}$	1,974	2,505	3,129	4,713	5,698	6,831	8,121	9,588	13,093
передача	V, м/с	27,91	32,56	37,21	46,51	51,16	55,82	60,47	65,12	74,42

<b>N<sub>т</sub>, кВт</b>	12,231	14,427	16,839	25,473	30,503	32,455	35,770	37,113	37,186
<b>N<sub>в</sub>, кВт</b>	1,500	2,383	3,557	6,946	9,245	12,004	15,262	19,061	28,452
<b>N<sub>д</sub>, кВт</b>	2,282	2,932	3,706	5,699	6,953	8,404	10,066	11,960	16,511



«Рисунок 2.8 – Мощностной баланс

## 2.7 Расчет топливно-экономической характеристики автомобиля

Для получения топливно-экономической характеристики следует рассчитать расход топлива при движении автомобиля на высшей передаче по горизонтальной дороге с заданными постоянными скоростями от минимально устойчивой до максимальной. Расход топлива определяется по формуле:

$$Q_s = \frac{1,1 \cdot g_{e \min} \cdot K_H \cdot K_E \cdot (N_d + N_b)}{36000 \cdot V_a \cdot \rho_T \cdot \eta_{TP}} \quad (2.21)$$

где» [2] «g<sub>e min</sub> = 240 г/(кВт · ч) – минимальный удельный

эффективный расход топлива;

ρ<sub>T</sub>=0,72 кг/л – плотность топлива;

K<sub>H</sub> = 1,152 · И<sup>2</sup> – 1,728 · И + 1,523 – коэффициент, учитывающий изменения величины удельного эффективного расхода топлива в зависимости от степени использования мощности

$$И = \frac{N_d + N_b}{N_t};$$

K<sub>E</sub> = 0,53 · E<sup>2</sup> – 0,753 · E + 1,227 – коэффициент, учитывающий изменения

величины удельного эффективного расхода топлива в зависимости от  $\omega_e$ .» [5]

$$E = \frac{\omega_e}{\omega_{eN}}, \quad (2.22)$$

Результаты расчетов сводим в таблицу «2.9

Таблица 2.9 – Результаты расчета топливно-экономической характеристики автомобиля» [8]

$\omega_e$ , рад/с	$V_a$ , м/с	$Q_s$ , л/100 км
314,16	27,91	0,53
366,52	32,56	0,81
418,88	37,21	1,17
523,60	46,51	2,38
575,96	51,16	3,28
628,32	55,82	4,31
680,68	60,47	5,72
733,04	65,12	7,54
837,76	74,42	15,98

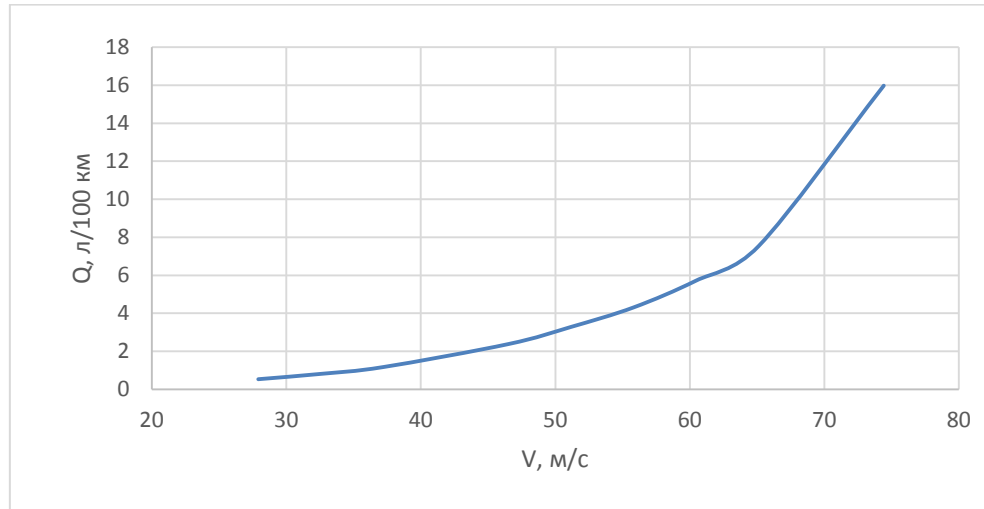


Рисунок 2.9 – Путевой расход топлива

### **3 Конструкторский раздел**

#### **3.1 Техническое задание**

##### **3.1.1 Наименование и область применения разработки**

Разрабатываемое приспособление стапель для сборочных работ проекта «Формула-Студент» позволяет максимально упростить процесс создания и технологической сборки автомобилей. Оснащение подъемника - гидроцилиндр прямого действия.

Область применения – лаборатория по техническому обслуживанию и ремонту автомобильного транспорта.

##### **3.1.2 Цель и назначение разработки**

Стапель-подъемник кузовов автомобилей предназначен для сборочных работ проекта «Формула-Студент», подъема болидов при выполнении ремонтных работ. Схема устройства представлена на рисунке 3.1.

##### **3.1.3 Режимы работы объекта**

Стапель сборочных работ проекта «Формула-Студент» для подъема кузовов болидов работает в режиме выполнения сборочных и ремонтных работ автомобиля до нормативных параметров путём приложения разнонаправленных усилий. Источники разработки

Инструкции по эксплуатации и техническому обслуживанию устройств для снятия и установки деталей автомобилей.

##### **3.1.4 Условия эксплуатации разработки**

Предложенное устройство не сложно по конструкции, не требует особых технологических приемов при обращении с ним и высокой квалификации рабочих при его изготовлении.

Проектируемое устройство предназначено для подъема кузовов автомобиля. Устройство может эксплуатироваться в помещениях лаборатории, позволяя упростить технологию ТО и Р подвижного состава.

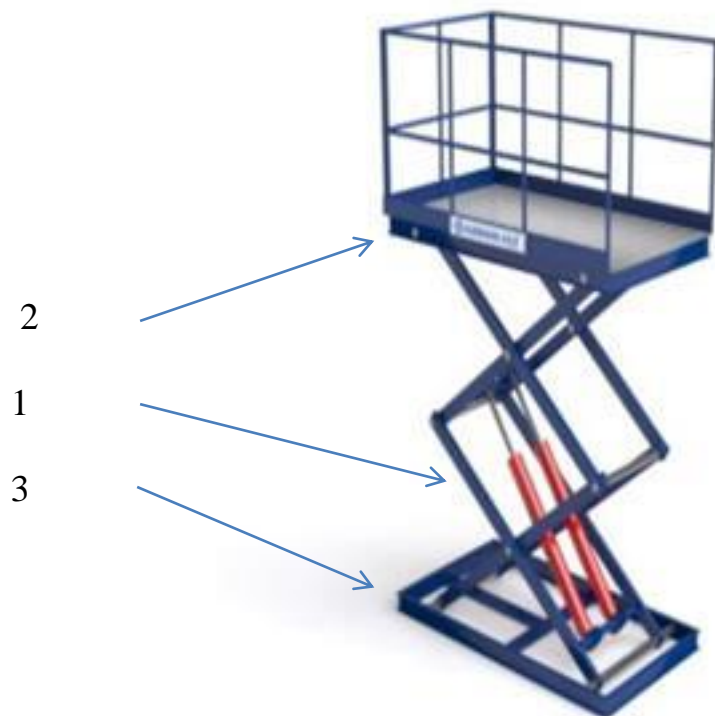
Проведение работ предусмотрено внутри отапливаемого помещения с режимом температур от +1°C до +35°C при относительной влажности воздуха не более 80%, исполнения УХЛ, категории размещения 4 по ГОСТ 15150-69[4].

Устройство для сборочных работ проекта «Формула-Студент» можно использовать как в качестве ремонтного стапеля, так и в качестве подъёмника.

Устройство для подъема должно отвечать следующим требованиям:

- Простота конструкции;
- Высокая надежность;
- Возможность перемещения платформы тележки в вертикальной плоскости;
- Высокая устойчивость;
- Возможность транспортировки тележки за счет мускульной силы человека;
- Исключение самопроизвольного опрокидывания тележки;

Возможность изготовления в условиях предприятия.



1 – стойки, 2 – платформа 3 - основание

Рисунок 3.1 – Схема напольного подъемника

Параметры подъемника:

Грузоподъемность – 500 кг;

Высота подъема – 750 мм;

Масса подъемника – 150 кг.

### **3.2 Техническое предложение**

Все рассматриваемые аналоги данного подкласса относятся к оборудованию для ремонта, а более конкретно к подъемникам для кузовов автомобилей. На первом этапе проводится поиск существующих конструкций и информационный обзор проектных решений. Существующие конструкции необходимо рассмотреть и проанализировать, исходя из условий подбора и соответствия техническому заданию. Заблаговременно выявляются недостатки конструкции, которые по возможности нужно устранить.

Рассмотрим более подробно описание аналогов и их характеристики.

#### **3.2.1 Подъемник ножничный передвижной Xilin-1-01**

Подъемник ножничный Xilin-1-01 изготавливается более 15 лет. Ранее подъемник назывался "Xilin-1-05". Модель выгодно отличается оригинальной конструкцией, обеспечивающей удобную установку автомобиля без использования дополнительных устройств (рисунок 3.2).



### Рисунок 3.2 – Подъемник ножничный "Xilin-1-01"

Рама подъемника Xilin-1-01 имеет цельносварную конструкцию и размеры по ширине смотровой канавы для грузовых автомобилей. Оснащена двумя поворотными колесами, и двумя съемными стойками опорами в передней части.

Кузовные захваты регулируются по ширине и длине ремонтируемого автомобиля.

- межосевое расстояние между передними и задними захватами от 860 до 1420 мм (4 места с шагом 140 мм)
- ширина расположения захватов от 1060 мм до 1755 мм

Основная зона ремонта располагается ниже линии днища автомобиля, поэтому удобнее расположить автомобиль на высоте удобной для работы. Пороги установленного на стапель автомобиля будут располагаться на высоте

700 мм, линия окон примерно на высоте 1600 мм. Для работы с верхними точками, можно воспользоваться заездными трапами в качестве подставки [16].

#### 3.2.2 Подъемник ножничный бытовой модели ТР-12

Подъемник модели ТР-12 (рисунок 3.3) предназначен для легковых автомобилей всех марок, имеющих отбортовку порогов.



Рисунок 3.3 – Подъемник ТР-12 [17].

Ножничные подъемники представляют собой две горизонтальные платформы с закрепленными между ними стойками. Конструкция опирается на платформу. Пневмобаллон поднимает верхнюю платформу за счет расширения элементов при помощи пневматической системы.

Грузоподъемность – 150 кг;

Высота подъема – 700 мм;

Масса подъемника – 70 кг.

### 3.2.3 Подъемник двухножничный ПЕ-10

Конструкция стойки обеспечивает вертикальное положение за счет направляющих опор. Рама перемещается вдоль канавы и является несущим элементом подъемника (рисунок 3.4).



Рисунок 3.4 – Подъемник ПЕ-10

Грузоподъемность – 200 кг;

Высота подъема – 1450 мм;

Масса подъемника – 96 кг.

Анализ и оценку информации осуществим с помощью методов инженерного прогнозирования. Для этого составим таблицу 3.1, в которой

указана основные сравниваемые характеристики и таблицу 3.2 с оценками специалистов по эксплуатации оборудования.

Таблица 3.1 – Технические характеристики подъемников кузовов автомобилей

Показатели	Xilin-1-01	TP-12	ПЕ-10
Производитель	ЗАО «Свет»	ОАО «ЗБО»	НПО "Трио"
Грузоподъёмность, кг	1000	150	200
Время подъёма, с	60	20	45
Время опускания, с	20	10	30
Количество силовых устройств, шт.	1	1	1
Масса, кг	75	70	96
Стоимость, тыс.руб.	25,5	31,6	29,9

Таблица 3.2 – Оценка потребительских качеств подъемников кузовов автомобилей

Шифр подъемника	Грузоподъёмность	Время подъёма	Время опускания	Количество силовых устройств	Усилие на крюк силового устройства	Вес	Средняя оценка
Xilin-1-01	9	9	8	8	9	7	8,3
TP-12	6	6	6	7	6	8	6,4
ПЕ-10	8	7	7	8	7	5	7,3
Среднее значение	7,6	7,8	7,5	7,8	7,8	7,3	

Для лучшей оценки преимуществ и недостатков аналогов, ниже данные представлены в виде диаграммы (рисунок 3.5) [8].

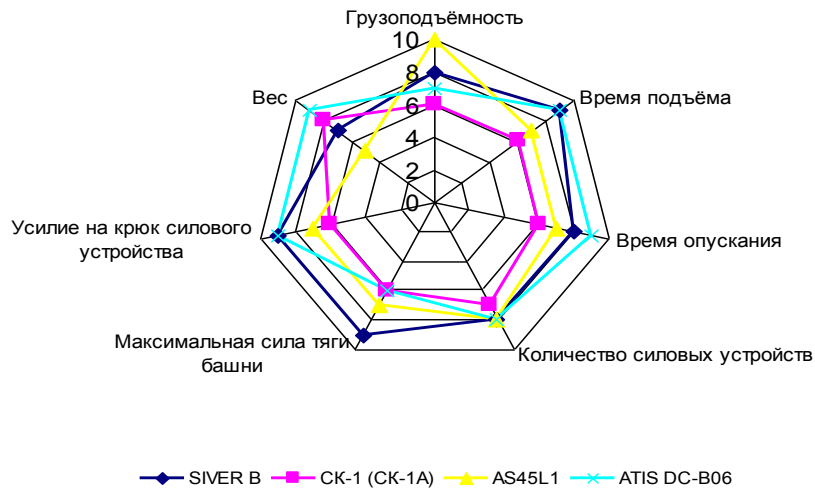


Рисунок 3.5 – Диаграмма оценки потребительских качеств аналогов

Проведя конструкторский анализ перечисленных, выше конструкций можно выделить несколько сильных сторон:

1. Наличие встроенного подъемника (ПЕ-10), что позволяет быстро установить автомобиль на подъемник, «облегчить проведение слесарных, монтажных работ и т.д. работ, а также использовать подъемник для проведения прочих работ»[20], не связанных с правкой кузова исключительно в качестве подъемника, повысив, тем самым, унификацию рабочего места
2. Конструкция рамы, позволяющая закрепить силовую консоль в любом месте, в то числе, на углах канавы (ПЕ-10), что позволяет производить любые виды работ.

Конструкторское решение, разрабатываемое в данной работе, будет заключаться в объединении вышеуказанных решений в одной конструкции, создав, тем самым удобную конструкцию, превосходящую аналоги по универсальности и удобству без существенного удорожания стоимости.

### **3.3 Предварительный проектный расчет**

#### **3.3.1 Определение принципиальной схемы конструкции**

Исходя из анализа рассмотренных образцов, можно сделать вывод, что конструкция должна состоять из шести основных элементов:

Базовая рама, используемая для первоначального позиционирования автомобиля и монтажа силового элемента. Рама должна иметь габариты не менее 500x200 мм (исходя из типовых габаритов спортивного автомобиля) и иметь узкие стороны в виде полукруга радиусом 1000 мм (для возможности позиционирования силовой консоли под углом к кузову). Канава должна допускать установку подъемника, габаритами не менее 1400x970 (исходя из расположения опорных точек большинства легковых автомобилей).

1. Рама подъемника, используемая для установки автомобиля на подъемник.
2. Опоры подъемника (должны обеспечивать подъем автомобиля на высоту не менее 600 мм для возможности свободного выполнения большинства видов работ).
3. Силовой элемент (должна иметь высоту не менее 800 мм над уровнем рамы, исходя из принятой максимальной высоты автомобиля).
4. Гидроцилиндр подъемника.

В рамках данной работы должны быть решены следующие, наиважнейшие для определения параметров конструкции, вопросы:

1. Выбор гидроцилиндра подъемника
2. Прочностной расчет рамы
3. Прочностной расчет платформы и основных нагруженных её элементов.

### **3.4 Расчеты основных элементов конструкции**

#### **3.4.1 Расчет на прочность основной рамы**

Рама представляет собой сварную конструкцию из стальных труб квадратного сечения. Нагрузки, действующие на раму – вес ремонтируемого автомобиля. Наибольшая нагрузка приходится на продольную часть рамы. Максимальный вес от оси автомобиля примем равным 500 кг. Следовательно, нагрузка на раму суммарно с силой в 5000 Н. Приведя силу, действующую в двух точках к результирующей, составим расчетную

схему:

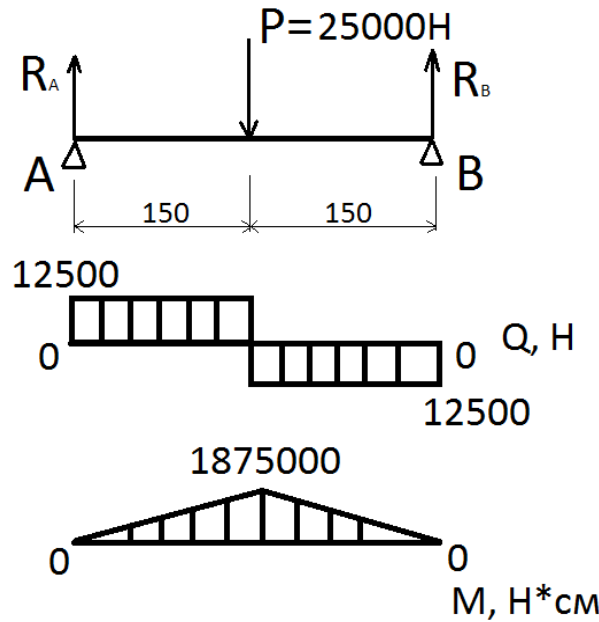


Рисунок 3.6 – Эпюры внутренних силовых факторов

Сначала необходимо найти реакции в опорах.

$$\sum F_y = 0 \quad (3.10)$$

$$R_A - P + R_B = 0 \quad (3.11)$$

Второе уравнение:

$$\sum M_A = 0 \quad (3.12)$$

$$-150P + R_B \cdot 150 \cdot 2 = 0 \quad (3.13)$$

Из первого уравнения

$$R_A = P - R_B = 25000 - 12500 = 12500\text{H}$$

Из второго уравнения

$$R_B = \frac{P \cdot 150}{150 \cdot 2} = 12500\text{H}$$

На основании вычисленных реакций можно строить эпюры внутренних силовых факторов.

Принимаем использование в конструкции четырех (по две на сторону) стальных труб из материала Ст3 квадратного сечения 80x6W<sub>y</sub> = 38,46 см<sup>3</sup>, [σ]

$$= 1250 \text{ кгс/см}^2. [14]$$

Тогда:  $\sigma_{\max} = \frac{187500}{4 * 38,46} = 1218,8 < [1250]$ . Следовательно, условие прочности выполняется. Запас прочности считается достаточным, чтобы не использовать трубу большего сечения, так как это приведет к удорожанию конструкции.

### 3.4.2 Выбор гидроцилиндра

Выбор гидроцилиндра осуществляется исходя из необходимого усилия на силовое устройство. Рассматривая аналогичные конструкции, приходим к выводу, что усилия в 2,5 т или 25000 Н должно быть достаточно для выполнения работ, для которых предназначена конструкция. Так же необходимо учесть, что цилиндр располагается под прямым углом к платформе. Соответственно, все усилие цилиндра (сообразно проекции сил на горизонталь) будет направлено на полезную работу. Кроме того, платформа с точки зрения механики представляет собой рычаги, и плечо сил, прилагаемых цилиндром к платформе, будет отличаться от плеча сил, прилагаемых опорами к кузову автомобиля.

Поскольку конструкция не определяет каких-либо ограничений на выбор угла установки цилиндра, в рамках данной работы для простоты расчетов примем угол между штоком цилиндра и вертикалью башни в 90 градусов. Тогда сила, непосредственно участвующая в полезной работе, должна быть равна:

$$F_x = F_{общ} * \cos \alpha = F_{общ} * \frac{\sqrt{3}}{2}$$

(3.12)

$$F_{общ} = F_x * 1,16 = 35000 * 1,16 = 40600 \text{ Н}$$

Разница моментов в каждом конкретном случае будет различной, для расчетов примем соотношение плеча закрепления цилиндра к ширине платформы как 1/1. Таким образом, для сохранения силы в 25000 Н,

действующей на кузов автомобиля, сила выталкивания штока цилиндра в итоге должна быть равна:

$$F_{цил} = F_{общ} * 3 = 25000 * 3 = 75000 \text{Н}$$

Выбор гидроцилиндра подъемника необходимо начать с определения угла установки цилиндра (либо нескольких цилиндров) к плоскости подъема при минимальной высоте площадки (там, где силы подъема наибольшие), чтобы определить необходимое усилие исходя из проекции силы выдвижения штока. Так же, необходимо определить место крепления цилиндра к опорам подъемника, чтобы иметь возможность рассчитать момент силы подъема. Исходя из практики проектирования и производства подобных устройств, имеющейся на настоящий момент, определим угол установки цилиндра в нижнем положении в 15 градусов, а крепление цилиндра в точках на раме и посередине опоры. При условии максимальной величины подъема площадки в 600 мм при сохранении безопасного максимального угла расположения опоры к площадке в 45 градусов в верхней точке подъема, определим размеры опоры подъемника.

Усилие на штоке гидроцилиндра напрямую зависит от мощности насоса, приводящего в движение поршень. Для проекта принимается насос, мощностью не более 70 МПа (или 713,8 кгс/см<sup>2</sup>) во избежание чрезмерного удорожания конструкции. Вычисляется диаметр гидроцилиндра исходя из следующей формулы:

$$D = \sqrt{\frac{4F_{цил}}{\pi p \eta}} \quad (3.13)$$

где  $F_{цил}$  - усилие выталкивания штока цилиндра,  $p$  - номинальное давление,  $\eta$  - КПД, равный 0,95

$$D = \sqrt{\frac{4 * 12180}{3,14 * 70 * 0,95}} = 65,27 \text{ мм}$$

Таким образом, цилиндр должен иметь диаметр поршня не менее 70 мм и быть рассчитан на рабочее давление в 70 МПа.

В качестве прототипа выбирается гидроцилиндр RC-70. Диаметр поршня 70 мм, ход штока 632 мм, рабочее давление – 70 МПа.[19]:

### 3.4.3 Прочностной расчет платформы

Согласно условиям проектирования, максимальная нагрузка на платформу составляет 2500 кг или 25000 Н. Соответственно, на консоль платформы будет действовать противоположно направленная сила реакции, нагружая платформу на изгиб.

$$F_{u_{ul}} = 121800 * \sin 60^\circ = 105481,98 \text{ H} \approx 105500 \text{ H}$$

Принимаем для использования в конструкции двух стальных труб из материала Ст3 квадратного сечения 180x10W<sub>y</sub> = 350,44 см<sup>3</sup>, [σ] = 1250 кгс/см<sup>2</sup>. [14]

Тогда:  $\sigma_{\max} = \frac{866340}{2 * 350,44} = 1236,07 < [1250]$ . Следовательно, условие

прочности выполняется.

Кроме расчета балки на изгиб необходимо провести расчет оси крепления ролика на срез по следующей формуле:

$$d = \sqrt{\frac{4S}{\pi * i * z * \tau_{cp}}}$$

(3.14)

где: d - диаметр оси в мм;

S - нагрузка на срез в МПа;

i - число плоскостей среза;

z - количество осей;

τ<sub>ср</sub> - допустимое напряжение на срез в МПа.

Для оси крепления ролика, при условии изготовления её из стали 40Х

$$d = \sqrt{\frac{4 * 25133}{3,14 * 1 * 1 * 330}} = 17,98 \text{ мм}$$

Примем диаметр оси в 20 мм, учитывая запас прочности.

Для оси крепления ролика, при условии изготовления её из стали 40Х

$$d = \sqrt{\frac{4 * 50267}{3,14 * 1 * 1 * 330}} = 25,43 \text{ MM}$$

## **4 Безопасность и экологичность технического объекта**

### **4.1 Конструктивно-технологическая характеристика объекта**

«Охрана труда представляет собой систему правовых, организационно-технических, социально-экономических, санитарно-гигиенических и лечебно-профилактических мероприятий и средств, которые направлены на поддержание здоровья и обеспечение трудоспособности работников предприятия в рабочее время.

Наряду с совершенствованием технологий технология постоянно возрастают требования для поддержания здоровья и трудоспособности человека. С этой целью на предприятиях создаются службы охраны труда, потому что полностью безопасных производственных объектов не существуют. К основным задачам охраны труда можно отнести снижение вероятности поражения или заболевание работающего, а также создание комфортных условий труда, обеспечивающих наибольшую производительность.

Фактор, действие которого приводит к травме или другому внезапному, резкому ухудшению здоровья, называют опасным производственным. Фактор, действие которого приводит к снижению работоспособности или заболеваниями, называют вредным производственным.

Современное» [4] предприятие в «своем составе имеет большое количество технических и энергетических систем, которые оказывают негативное влияние на окружающую среду и человека. Это сложные технические системы, имеющие в своем составе количество подвижных и режущих частей, которые обладают высоким уровнем загазованности и пылеобразования» [5].

#### **4.1.1 Рабочая зона**

Опасные и вредные производственные факторы на рабочем посту

Физические факторы можно разделить на следующие:

- движущиеся машины и механизмы;

- подвижные части производственного оборудования и технической оснастки;
- передвигающиеся изделия, детали, узлы, материалы;
- повышенную запыленность и загазованность воздуха рабочей зоны;
- повышенную или пониженную температуру поверхностей оборудования, материалов;
- повышенную или пониженную температуру воздуха рабочей зоны;
- повышенный уровень шума на рабочем месте;
- повышенный уровень вибрации;
- повышенный уровень ультразвука и инфразвуковых колебаний; повышенное или пониженное барометрическое давление в рабочей зоне и его резкое изменение;
- «повышенную или пониженную влажность воздуха, ионизацию воздуха в рабочей зоне;» [26]

- отсутствие или недостаток естественного света;
- недостаточную освещенность рабочей зоны;
- пониженную контрастность;
- повышенную яркость света;
- острые кромки, заусенцы и шероховатость на поверхностях заготовок, инструментов и всего оборудования.

Химические факторы делят в зависимости от характера и степени «воздействия на организм человека:

- токсические;
- раздражающие;
- сенсибилизирующие;
- канцерогенные;
- мутагенные

Химический факторы влияют на репродуктивную функцию человека.

Также во время попадания в организм человека воздействуют на» [2] органы дыхания, желудочно-кишечный тракт, кожные покровы и слизистые оболочки.

К психофизиологическим относят следующие факторы:

- физические перегрузки на человека (бывают статические и динамические);
- нервно-психические перегрузки на человека (выделяют» [2] умственное перенапряжение, перенапряжение анализаторов, монотонность труда, эмоциональные перегрузки).

### **Специальная оценка условий труда**

Специальная оценка условий труда – комплекс мероприятий по идентификации вредных и (или) опасных факторов производственной среды, и трудового процесса и оценке уровня их воздействия на работника. Общими положениями специальной оценки N 426-ФЗ [26] являются:

- Проведение оценки совместно работодателями и организацией. С целью организации процедуры организации и проведения оценки условий труда работодатель, исходя из специфики своей деятельности, устанавливает (определяет):
  - а) порядок создания и функционирования комиссии по проведению специальной оценки условий труда, а также права, обязанности и ответственность ее членов;
  - б) особенности функционирования комиссии по проведению специальной оценки условий труда при наличии у работодателя обособленных структурных подразделений;
  - в) организационный порядок проведения специальной оценки условий труда на рабочих местах работодателя в части деятельности комиссии по проведению специальной оценки условий труда;
  - г) порядок осуществления отбора и заключения гражданско-правового договора с организацией, проводящей специальную оценку условий труда, учитывающий необходимость привлечения к данной работе наиболее

компетентной в отношении вида деятельности работодателя;

д) порядок урегулирования споров по вопросам специальной оценки условий труда;

е) порядок использования результатов специальной оценки условий труда.

- Специальная оценка проводится по методике утвержденной федеральными органами исполнительной власти;

- Исследованию и измерению подлежат: уровень звука, освещенность, массовая концентрация аэрозолей в воздухе рабочей зоны, напряженность трудового процесса, концентрация химических веществ, вибрация.

#### **4.2 Идентификация производственно-технологических и эксплуатационных профессиональных рисков**

В процессе выполнения работ на работника могут воздействовать опасные и вредные производственные факторы, в том числе: отравление токсическими веществами, «загазованность помещения и рабочей зоны; пожар; взрыв; падение человека и предметов с высоты.» [27]

Источники возникновения этих факторов:

- неисправность газового оборудования автомобиля или неправильная его эксплуатация;
- неисправный или не по назначению примененный инструмент, оснастка, оборудование;

Действие факторов:

- наличие токсических веществ в «воздухе» уменьшает в нем содержание

кислорода, что приводит к обморочному состоянию;

- применение неисправного инструмента, приспособлений, а также несоблюдение требований безопасного производства работ может привести к травмированию работников;

- нарушение Правил пожарной безопасности может привести к

пожарам и взрывам» [27]

#### **4.3 Технические меры, применяемые для снижения рисков профессионального характера**

Условия труда на рабочем месте по степени вредности и опасности

Для определения условий труда необходимо установить, какие вредные и (или) опасные производственные факторы влияют на рабочих, на производстве (таблица 4.1).

Таблица 4.1 - Вредные и опасные производственные факторы на участке диагностики

Наименование вредного и опасного фактора производственной среды и трудового процесса	
1 Шум	
2 Локальная вибрация	
3 Неионизирующие излучения	
4 Химический фактор	
5 Тяжесть трудового процесса	

Условия труда по классу (подклассу) условий труда при воздействии виброакустических факторов относятся в соответствии с требованиями приказу Минтруда России № 33н [29] (таблица 4.2).

Таблица 4.2 - Отнесение условий труда при воздействии виброакустических факторов

Вид трудовой деятельности, рабочее место	Класс (подкласс) условий труда					
	Допустимый	Вредный				Опасный
		2	3.1	3.2	3.3	3.4
Шум, эквивалентный уровень звука, дБА	≤ 80	>80	>85	>95	>105	>115
Вибрация локальная, эквивалентный корректированный	≤126	>126-129	>129-132	>132-135	>135-138	>138

уровень виброускорения, дБ						
----------------------------	--	--	--	--	--	--

При проведении ремонтных работ на моторном участке концентрация вредных газов в воздухе рабочей зоны соответствует подклассу 2 вредных условий труда. Условия труда по классу (подклассу) условий труда при воздействии неионизирующих излучений относятся в соответствии с Приложением № 17 [28] (таблица 3.3).

Таблица 4.3 - Отнесение условий труда при воздействии неионизирующих факторов

Вид трудовой деятельности, рабочее место	Класс (подкласс) условий труда					
	Допустимый	Вредный				Опасный
		2	3.1	3.2	3.3	
Электрические поля промышленной частоты (50 Гц)	$\leq$ ПДУ	$\leq$ 5	$\leq$ 10	>10	-	>40
Магнитные поля промышленной частоты (50Гц)	$\leq$ ПДУ	$\leq$ 5	$\leq$ 10	>10	-	-

Условия труда по классу (подклассу) условий труда при воздействии химического фактора относятся в соответствии с Приложением № 1 [29] (таблица 3.4).

На участке ТР главным источником химических веществ являются отработавшие газы. Они содержат вредные химические вещества различной опасности (оксид углерода CO, оксиды азота NOx, парафины, олефины, ароматики и др.). Но, учитывая то, что работы на участке производятся при незапущенном двигателе (Минимальное время работы при въезде/выезде), а сам участок оборудован местной вентиляционной системой, то можно утверждать, что условия труда относятся ко 2 классу условий труда – допустимому.

Таблица 4.4 - Отнесение условий труда при воздействии химических факторов

Вид трудовой	Класс (подкласс) условий труда
--------------	--------------------------------

деятельности, рабочее место	Допустимый 2	Вредный				Опасный 4
		3.1	3.2	3.3	3.4	
Вещества 1-4 классов опасности, за исключением канцерогенов	≤ 7	>1,0-3,0	>3,0-10,0	>10,0-15,0	>15,0-20,0	>20,0
	≤ 5	>1,0-3,0	>3,0-10,0	>10,0-15,0	>15,0	-

Условия труда по классу (подклассу) условий труда по тяжести трудового процесса «относятся в соответствии с Приложением № 20 (таблицы» [29] 3.5-3.7). Работы на участке диагностики двигателей по тяжести трудового процесса относятся ко 2-му классу условий труда (допустимым), так как физическая динамическая нагрузка и стереотипные рабочие движения за рабочий день не превышает значений допустимых условий труда, ввиду того, что для облегчения труда используются различные инструменты и оборудование (гайковерты, манипуляторы для снятия/установки агрегатов и др.), позволяющие в минимальной степени прибегать к физическим нагрузкам. Рабочее положение тела работника в течение рабочего дня также находится в пределах значений допустимых условий труда. Неудобные и фиксированные положения присутствуют, но они периодичны. Устройство поста снижает до минимума вынужденные рабочие положения («лёжа», «на коленях», «на корточках», «стоя»).

Таблица 4.5 - Физическая динамическая нагрузка – единицы внешней механической работы за рабочий день (смены)

Показатели тяжести трудового процесса, кг·м	Класс (подкласс) условий труда			
	Оптимальный		Dопустимый	Вредный
	1	2	3.1	3.2
При региональной нагрузке перемещаемого работником груза (с преимущественным участием мышц рук и плечевого пояса работника) при перемещении груза на расстояние до 1 м				
Для мужчин	до 2 500	до 5 000	до 7 000	более 7000
Для женщин	до 1 500	до 3 000	до 4 000	более 4 000
При общей нагрузке перемещаемого работником груза (с участием мышц рук, корпуса, ног, тела работника				
- при перемещении работником груза на расстояние от 1 до 5 м				
Для мужчин	до 12 000	до 25 000	до 35 000	более 35000
Для женщин	до 7 500	до 15 000	до 25 000	более 25000
- при перемещении работником груза на расстояние более 5 м				
Для мужчин	до 24 000	до 46 000	до 70 000	более 70000
Для женщин	до 14 000	до 28 000	до 40 000	более 40000

Таблица 4.6 - Стереотипные рабочие движения за рабочий день (смену)

Показатели тяжести трудового процесса, кг·м	Класс (подкласс) условий труда			
	Оптимальный	Допустимый	Вредный	
	1	2	3.1	3.2
Количество стереотипных движений работника при локальной нагрузке (с участием мышц кистей и пальцев рук)				
Для мужчин	до 20 000	до 40 000	до 60 000	более 60 000
Для женщин	до 10 000	до 20 000	до 30 000	более 30 000

Таблица 4.7 - Рабочее положения тела работника смены в течение рабочего дня

Класс (подкласс) условий труда			
Оптимальный	Допустимый	Вредный	
1	2	3.1	3.2
Свободное удобное положение с возможностью смены рабочего положения тела (сидя, стоя). Нхождение в положении «стоя» до 40% времени рабочего дня (смены).	Периодическое, до 25% времени смены – нахождение в неудобном и (или) фиксированном положении. Нхождение в положении «стоя» до 60 % рабочего дня (смены).	Периодическое, до 50 % времени смены – нахождение в неудобном и (или) фиксированном положении; периодическое –до 25% рабочего времени пребывание в неудобном положении. Нхождение в положении «стоя» до 80 % рабочего дня (смены). Нхождение в положении «сидя» без перерывов от 60 до 80% времени рабочей смены.	Периодическое, более 50 % времени смены – нахождение в неудобном и (или) фиксированном положении; периодическое – более 25 % рабочего времени пребывание в неудобном положении. Нхождение в положении «стоя» более 80 % рабочего дня (смены). Нхождение в положении «сидя» без перерывов более 80% времени рабочей смены.

Отнесение условий труда к классу (подклассу) условий труда с учетом комплексного взаимодействия вредных и опасных факторов осуществляется на основании анализа отнесения данных факторов к тому или иному классу (подклассу) условий труда.

Итоговый класс (подкласс) условий труда на рабочем месте

устанавливают по наиболее высокому классу (подклассу) вредных и (или) опасных факторов одного из имеющихся на рабочем месте вредных и (или) опасных факторов в соответствии с Приложением № 22 [29] (таблица 4.8).

В случае применения работниками, которые находятся на рабочем месте с вредными условиями труда, эффективных средств индивидуальной защиты, прошедших обязательную сертификацию в порядке, установленном соответствующим техническим регламентом, класс (подкласс) условий труда может быть снижен в порядке, установленном Федеральным законом от 28 декабря 2013 года № 426-ФЗ « О специальной оценке условий труда». Результаты проведения специальной оценки условий труда оформляются в виде отчета.

Таблица 4.8 - Итоговая оценка условий труда

Наименование фактора	Класс (подкласс) условий труда
Шум	2
Локальная вибрация	2
Неионизирующие излучения	2
Химический фактор	2
Тяжесть трудового процесса	2

Таким образом, данный разрабатываемый участок относится к подклассу 2-к допустимым условиям труда, то есть к условиям труда, при которых на работника воздействуют вредные и (или) опасные производственные факторы. После воздействия факторов данного типа измененное функциональное состояние организма работника восстанавливается, как правило, до следующей смены.

### **Техника безопасности**

При техническом обслуживании и текущем ремонте автомобилей возникают следующие опасные и вредные производственные факторы: «движение автомобилей, открытые части производственного оборудования, высокая загазованность автомобильными газами, опасности получения повреждений при работе с инструментом и др.

Для обеспечения безопасности автослесарей, повышения качества и

производительности работы все действия осуществляются на оборудованных постах, которые оснащены подъемниками со стопорами» [2] и другими устройствами. С целью обеспечения безопасности автомобиль должен устанавливаться без перекосов на подъемнике.

Использование любого движущегося инструмента должно осуществляться строго в защитных средствах, с целью предотвращения травматизма. На автомобильные подъемники устанавливаются защитные чехлы в местах вращающихся механизмов. При работе на балансировочном стенде, «рабочая область станка, на котором проводят динамическую балансировку, имеется защитное ограждение, чтобы исключить возможность контакта человека с вращающимся ротором или частями привода» [131]. При использовании любого подъемного оборудования должны применяться блокираторы, чтобы уберечь персонал от падения автомобиля. Домкраты необходимо содержать в чистом и исправном состоянии.

Для снятия и установки агрегатов, требующих больших усилий необходимо и применять специальные устройства (съемники). Агрегаты с жидкостями сначала опорожняют после чего с ним возможно осуществлять требуемые действия. Для работы с тяжелыми агрегатами более 20кг используют специальные приспособления.

В «сварочном цехе на АТП применяют газовую, точечную и электродуговую сварку. При сварочных работах основную опасность представляет видимое и инфракрасное излучение, повышенная температура, расплавленный металл и вредные газы. Сварочные работы выполняются по ГОСТ 12.3.003-86, а также на основании Правил» [2] техники безопасности и производственной санитарии «при электросварочных работах и других.

Сварочный цех окрашен в светло серый цвет краской с добавлением в нее окиси цинка или титана для поглощения ультрафиолетовых лучей. На рабочем месте сварщика есть стол и стул. Стол оборудован местным отсосом. Плита стола изготовлена из чугуна, а стул с сиденьем - из диэлектрического материала, регулируемый по высоте. Все» [14]

оборудование электросварочных установок должно иметь исполнение, соответствующее условиям окружающей среды. «Корпуса электросварочных установок и другие металлические нетоковедущие части оборудования заземляют.

Участок диагностики оборудуется специальными местными отсосами отработавших газов, так как все работы проводят с работающим двигателем. Кроме того, к рабочим местам электрика подводятся местные отсосы приточно-вытяжной вентиляции. Для охлаждения двигателя автомобиля дополнительно устанавливают передвижной электрический вентилятор» [1].

Работодатель за счет своих средств обязан в соответствии с установленными нормами обеспечивать своевременную выдачу специальной хлопчатобумажной одежды, специальной обуви с металлической вставкой, перчаток комбинированных и предохранительного пояса, а также их хранение, стирку, сушку, ремонт и замену.

#### «Электробезопасность

Электрические установки, к которым можно отнести большую часть оборудования АТП,» [95] «представляет для человека большую потенциальную опасность, так как в процессе эксплуатации или проведения профилактических работ человек может коснуться частей, находящихся под напряжением. Специфическая опасность электроустановок: токоведущие проводники, корпуса стоек подъемников и прочего оборудования, оказавшегося под напряжением в результате пробоя изоляции не подают каких-либо сигналов, которые предупреждали бы человека об опасности. Реакция человека на электрический ток возникает при протекании последнего через тело человека.

Проходя через тело человека, электрический ток оказывает на него сложное воздействие, вызывает термическое, электролитическое, механическое и биологическое действие. Термическое действие тока проявляется в ожогах отдельных участков тела, нагреве тканей и биологических сред, что вызывает в них функциональные расстройства.

Электролитическое действие тока выражается в разложении органической жидкости, крови и проявляется в изменении их физико-химического состава. Механическое действие тока приводит к разрыву мышечных тканей. Биологическое действие тока заключается в способности тока раздражать и возбуждать живые ткани организмы.

Любое из перечисленных действий тока может привести к электрической травме, то есть к повреждению организма, вызванному воздействием электрического тока или электрической дуги.

Для» [4] предотвращения воздействия электрического тока на организм человека необходимо принять ряд мероприятий по обеспечению безопасности:

- Защита токоведущих частей методом двойной изоляции;
- Применение специальных электрозащитных средств: диэлектрические перчатки, диэлектрические галоши, коврики и изолирующие подставки;

«Для защиты персонала от поражения электрическим током в ремонтной зоне все электрические кабели (силовые, провода вторичных цепей)» [4] «проведены в изолированных кабель-каналах. Все технологические оборудования занулены через нулевую жилу питающего кабеля, при коротком замыкании происходит автоматическое отключение линии, питающую неисправное оборудование» [4].

Электрическая прочность вторичных цепей, схем защиты, управления, сигнализации со всеми присоединенными электрическими аппаратами проверяется повышенным напряжением 1,5 кВ промышленной частоты. Продолжительность приложенного испытательного напряжения 1 мин.

К электрифицированным инструментам относятся: электродрели, электрошлифовальные станки т.д. Электроинструмент, работающий от сети, должен иметь съемный гибкий кабель с вилкой, защищенной от истирания и перегибов эластичной трубкой длиной не менее 5 диаметров кабеля. При выдаче инструмент осматривается визуально, с исправным заземлением металлических частей, с исправным кабелем, т.е. без дефектов.

«Запрещается эксплуатировать при неисправности штепсельного соединения; выключателя или другой коммутационной аппаратуры; при включении щеток; вытекании смазки; появлении дыма или запаха; наличии трещин на корпусе, рукоятке; при повышенном шуме, вибрации; хотя бы слабом воздействии электрического тока.

Корпуса электроинструментов, не имеющие двойной изоляции независимо от частоты при напряжении сети выше 42 В заземлены.

Периодический осмотр электроинструмента производится не реже 1 раза в 3 месяца с записью в журнале осмотров и проверок изоляции (мегомметром).

На участке разрядные тока статического электричества чаще всего возникают при прикосновение обслуживающего персонала к любому из элементов. Такие разряды не представляют опасности для человека. Для предупреждения поражения работающих электрическим током подъемники заземляют» [4].

Зануление нужно выполнять электрическим соединением металлических частей электроустановок с заземленной точкой источника питания электроэнергией с помощью нулевого защитного проводника. «Защитный эффект заключается в уменьшении продолжительности замыкания на корпус, итак, сокращение действия электротока на человека.» [25]

Защитному заземлению или занулению подлежат металлические части электроустановок, «которые доступны для прикосновения человека и не имеют других видов защиты, которые обеспечивают электробезопасность.

#### **4.4 Функционирование объекта в чрезвычайных и аварийных ситуациях**

##### **Пожарная безопасность**

Уровень технического оснащения предприятия, который растет, осложнение производственных процессов сопровождается повышением

энергоемкости производств, высокой концентрацией мощностей и материалов, использованием полимерных синтетических строительных материалов, увеличением площадей и этажей производственных зданий. При таких условиях отклонения от требований пожарной безопасности приводят к значительному экономическому ущербу и человеческие жертвы.

Пожарная опасность производственных зданий и помещений определяется особенностями выполняемого в них технологического процесса, свойствами применяемых веществ и материалов, а также» [14] условиями их обработки. По взрывопожарной и пожарной опасности «помещения и здания подразделяются на 4 категории. Причинами возникновения пожара на СТО есть:

- нарушение технологического режима работы оборудования;
- самовозгорание некоторых материалов и веществ;
- неисправность электропроводки и приборов;
- короткое замыкание электрической сети;
- плохая подготовка оборудования к ремонту;
- разряд статического электричества.

Характеристика вещества и материалов тех, что находятся в помещении - горючие и трудно горящие жидкости, твердые горючие и трудно горящие материалы,» [2] вещества и материалы, способные при взаимодействии с водой, кислородом воздуха или друг с другом гореть.

«Пожарная безопасность обеспечивается мерами пожарной профилактики и активной пожарной защиты. Понятие пожарной профилактики включает комплекс мероприятий, необходимых для предупреждения возникновения пожара или уменьшение его следствий. Под активной пожарной защитой понимаются меры, которые обеспечивают успешную борьбу с возникающими или пожарами взрывоопасной ситуацией.» [86]

«Пожарная безопасность должна соответствовать всем нормам по пожарной безопасности ГОСТ 12.1.004-91 что предполагает:

- применение электрического оборудования, соответствующего требованиям ГОСТ 12.1.011;

- исключение перегрева технологического оборудования и контакт его с легковоспламеняющимися материалами;
- утилизация отработанных легковоспламеняющихся материалов;
- наличие установок пожаротушения (порошковые огнетушители);
- максимально возможным» [4] ограничением массы и (или) объема горючих веществ, материалов и наиболее безопасным способом их размещения.

На территории предприятия размещен один пожарный щит согласно ГОСТ 12.4.026 -76. Щит окрашивается в белый цвет с красной полосой по периметру. На щите расположен следующий набор средства пожаротушения, шт.:

- огнетушители порошковые -3;
- ящик с песком -1;
- асбестовое или войлочное полотно - 1;
- ломы - 2;
- багры - 3;
- топоры -2;
- лопаты - 2;
- пожарные ведра - 2.

Для устранения условий, которые могут привести к пожару и возгоранию, все электроустановки следует оборудовать автоматами защиты от токов короткого замыкания. Осветительные и силовые линии смонтированы с таким расчетом, чтобы исключить соприкосновение светильников с горючими материалами.

Безопасность людей, сохранность транспортных средств при пожаре, зависят от своевременной и правильной их эвакуации. Для эвакуации людей

необходимо вывесить план эвакуации из помещения вблизи выхода в соответствии со СНиП 2.01.02-85. В здании установлены электрические звонки, которые включаются при угрозе пожара.

Для защиты от удара молнии, который так же может спровоцировать пожар из-за замыкания электрических систем, на здании который по классификации относится ко 2 категории, установлен молниеотвод.

Первичными средствами пожаротушения являются внутренние пожарные водопроводы, огнетушители ручные и передвижные, сухой песок и т.д. Пожарные краны устанавливают в доступных и заметных местах в нишах на высоте 1,35 м, где также находится пожарный ствол с напорным рукавом из тканевого материала длиной 10-20 м.

#### **4.5 Выводы по разделу**

В разделе Безопасность и экологичность технического «объекта» произведен анализ поста текущего ремонта по видам технических воздействий и типам операций. При этом были достигнуты следующие цели:

- 1) зафиксированы вредные производственные факторы, которые имеют место на ремонтном участке,
- 2) определены мероприятия по снижению вредных воздействий на окружающую среду и людей, а также мероприятия по созданию безопасных условий труда.
- 3) Определена категория пожароопасности – категория «Д», определено огнетушительное оборудование необходимое для производственного помещения,
- 4) Определены вредные воздействия на окружающую среду со стороны ремонтного производства и процесса эксплуатации устройства в составе оборудования,
- 5) Изучен вопрос по организации безопасности на производственном участке в случае возникновения ЧС или аварии» [5].



## 5 Расчет экономической эффективности стапеля для сборочных работ проекта «Формула-Студент»

### 5.1 Определение себестоимости изготовления

Определение затрат на покупку сырья и материалов, выполняется по формуле (5.1):

$$M = I_M \cdot Q_M \cdot \left(1 + \frac{K_{T3}}{100}\right). \quad (5.1)$$

Для удобства сводим информацию по «затратам на покупку сырья и материалов в таблицу 5.1.

Таблица 5.1 – Информация по затратам на покупку сырья» [3]

Номенклатура сырья, материалов и услуг	Количество, единица измерения	Цена с НДС за единицу, руб.	Общая сумма, руб.	Условия поставки
1	2	3	4	5
Балка прямоугольного профиля с трубчатым сечением 100x60x4, СТ3	14 м	850	11900	самовывоз
Двутавровая балка, СТ3	53,3 кг	45,7	2435,81	самовывоз
Труба круглого сечения 1500x180x6, ст.20	34 кг	35,9	1220,6	самовывоз
Труба круглого сечения 1300x160x5, ст.20	28 кг	35,6	996,8	самовывоз
Краска	4 л	170	680	самовывоз
Листовой металл, СТ3	15 кг	18,4	276	самовывоз
Грунтовка	5 л	86	430	самовывоз
Лента крепежная 2 класс прочности 100x0,9	10 м	192	1920	самовывоз
Итого:	–	–	7959,21	–
Транспортно-заготовительные расходы	–	–	557,14	–
Всего:	–	–	8874,51	–

«Для определения затрат на покупные изделия и полуфабрикаты» [1] воспользуемся формулой (5.2):

$$\Pi_H = \Pi_i \cdot \eta_i \cdot \left(1 + \frac{K_{T3}}{100}\right). \quad (5.2)$$

Для удобства сводим информацию по затратам на покупные изделия в таблицу 5.2.

Таблица 5.2 – Информация по затратам на покупные изделия

Номенклатура покупного изделия	Количество, единица измерения	Цена с НДС за единицу изделия, руб.	Общая сумма, руб.	Условия поставки
1	2	3	4	5
Платформа в сборе	1 шт.	5020	5020	самовывоз
Рама в сборе	1 шт.	2600	2600	самовывоз
Втулка	6 шт.	167	1002	самовывоз
Блок направляющий	1 шт.	268	268	самовывоз
Балка жесткости	2 шт.	1200	2400	самовывоз
Платформа	1 шт.	26500	26500	самовывоз
Гидроцилиндр	1 шт.	1520	1520	самовывоз
Зажим направляющего блока	1 шт.	370	370	самовывоз
Подшипник 2510А	2 шт.	120	240	самовывоз
Болт M22	1 шт.	24	24	самовывоз
Болт M12x35	12 шт.	9,5	114	самовывоз
Болт M12x45	8 шт.	10	80	самовывоз
Болт M16x35	8 шт.	9	150	самовывоз
Болт M18x160	11 шт.	12,9	141,9	самовывоз
Гайка M12	20 шт.	2,8	56	самовывоз
Гайка M16	8 шт.	4,3	950	самовывоз
Гайка M18	11 шт.	6	950	самовывоз
Шайба плоская 12	20 шт.	2	950	самовывоз
Шайба плоская 16	8 шт.	2,4	950	самовывоз
«Итого:	–	–	44285,9	–
Транспортно-заготовительные расходы	–	–	3633,41	–
Всего:	–	–	47919,31	–

## 5.2 Определение затрат на выплату заработной платы

Для определения затрат на» [18] заработную плату воспользуемся формулой (5.3):

$$Z_o = C_p \cdot T \cdot \left(1 + \frac{K_{T3}}{100}\right). \quad (5.3)$$

Для удобства сводим информацию по «затратам на выплату основной заработной платы в таблицу 5.3.

Таблица 5.3 – Информация по затратам на выплату основной заработной платы» [12]

Наименование основной технологической операции	Разряд рабочего в соответствии с Единым тарифно-квалификационным справочником работ и профессий «рабочих»	Затраты на производство единицы продукции (трудоемкость), чел-ч.	Должностной оклад, руб./час	Заработкая плата, руб.
1 Заготовительная	3	15	52,8	792
2 Сварочная	5	16	61,2	979,2
3 Токарная	5	8	61,2	489,6
4 Фрезерная	5	10	61,2	612
5 Сверлильная	4	6	55,74	334,44
6 Слесарная	4	6	55,74	334,44
7 Сборочная	5	24	61,2	1468,8
8 Окрасочная	4	2	55,74	111,48
9 Испытательная	4	0,5	55,74	27,87
Итого:	–	–	–	5149,83
Выплата стимулирующего характера (ч. 1 ст. 129 ТК РФ):	–	–	–	1029,96
Основная заработкая плата:	–	–	–	6179,79

Для определения затрат на выплату дополнительной заработной платы воспользуемся формулой (5.4):

$$Z_{\Delta} = Z_O \cdot K_{\Delta}, \quad (5.4)$$

где  $K_{\Delta}$  [9] – «коэффициент доплат до часового фонда заработной платы,»

$$K_{\Delta} = 1,1 [10].$$

$$\ll Z_{\Delta} = 6179,79 \cdot 1,1 = 617,97 \text{ р.}$$

Для определения затрат на отчисления единого социального налога воспользуемся формулой (5.5):

$$O_C = (Z_O + Z_{\Delta}) \cdot K_C, \quad (5.5)$$

где  $K_C$  – коэффициент доплат до часового фонда» [9] «зарплаты,

$$K_C = 0,26 \text{ [19].}$$

$$O_C = (6179,79 + 617,79) \cdot 0,26 = 1767,42 \text{ р.}$$

### **5.3 Определение» [1] затрат на содержание и эксплуатацию оборудования**

Для определения затрат на содержание и эксплуатацию оборудования воспользуемся формулой (5.6):

$$P_{co\delta.o\delta} = Z_O \cdot K_{o\delta}, \quad (5.6)$$

где  $K_{o\delta}$  – коэффициент, учитывающий» [11] расходы на содержание и эксплуатацию оборудования,  $K_{o\delta} = 1,04$  [20].

$$P_{co\delta.o\delta} = 6179,79 \cdot 1,04 = 6426,98 \text{ р.}$$

«Для определения затрат на общепроизводственные нужды воспользуемся формулой (5.7):

$$P_{onp} = Z_O \cdot K_{onp}, \quad (5.7)$$

где  $K_{onp}$  – коэффициент распределения общепроизводственных расходов» [9],  $K_{onp} = 1,5$ .

$$P_{onp} = 6179,79 \cdot 1,5 = 9269,69 \text{ р.}$$

Для определения цеховой (внутрихозяйственной) себестоимости воспользуемся формулой (5.8):

$$C_{Ц} = M + П_И + Z_O + Z_Д + O_C + P_{co\delta.o\delta} + P_{onp}. \quad (5.8)$$

$$C_{Ц} = 8874,51 + 55539,31 + 6179,79 + 617,79 + 1767,42 + 6426,98 + 9269,69 = 88675,71 \text{ р.}$$

Для определения затрат на общехозяйственные (общезаводские) расходы воспользуемся формулой (5.9):

$$P_{oxp} = Z_O \cdot K_{oxp}, \quad (5.9)$$

где  $K_{oxp}$  – коэффициент, учитывающий общехозяйственные расходы,

$$K_{oxp} = 1,6.$$

$$P_{oxp} = 6179,79 \cdot 1,6 = 9887,67 \text{ р.}$$

Для определения общих затрат воспользуемся формулой (5.10):

$$C_{\text{ПР}} = C_{\text{Ц}} + P_{\text{опр}}, \quad (5.10)$$

$$C_{\text{ПР}} = 88675,71 + 9887,67 = 98563,38 \text{ р.}$$

Для определения затрат на внепроизводственные нужды воспользуемся формулой (5.11):

$$P_{\text{ВН}} = C_{\text{ПР}} \cdot K_{\text{внепр}}, \quad (5.11)$$

где  $K_{\text{внепр}}$  – коэффициент, учитывающий внепроизводственные расходы,  $K_{\text{внепр}} = 0,05$ .

$$P_{\text{ВН}} = 98563,38 \cdot 0,05 = 4928,16 \text{ р.}$$

#### **5.4 Определение общей суммы затрат на изготовление конструкции**

##### **стапеля для сборочных работ спортивных болидов**

Для «определения общих затрат на изготовление конструкции стапеля для сборочных работ спортивных болидов, покупку материалов, выплату денежных средств» [3] воспользуемся формулой (5.12):

$$C_{\text{общ}} = C_{\text{ПР}} + P_{\text{ВН}}, \quad (5.12)$$

$$C_{\text{общ}} = 28227,84 + 3928,16 = 32156 \text{ р.}$$

Ориентировочная стоимость изготовления спроектированного стапеля для сборочных работ спортивных болидов «Формула-Студент» составляет 32156 р.

Проведенный обзор аналогичных конструкций стапеля для сборочных работ спортивных болидов показал, что средняя стоимость представленных на рынке зарубежных и отечественных аналогов данного оборудования составляет 49700 р. Экономическая эффективность от внедрения разработанной конструкции стапеля для сборочных работ спортивных болидов составляет 17544 р.

## **ЗАКЛЮЧЕНИЕ**

Представлена «выпускная квалификационная» [11] работа «дипломный проект на тему «Передвижной стапель для сборочных работ проекта «Формула-Студент». В пояснительной записке, проведены технологические расчеты конструктивных элементов, анализ и выбор составных частей, как производимых самостоятельно, так и закупочных.

Согласно технологическим и прочностным расчетам разработаны и оформлены конструкторские чертежи, которые представлены в настоящей работе. Выбор технологии и оборудования подкреплен экономическим эффектом, расчет которого приведен в специальной главе и, несомненно, соответствует требованиям безопасности и экологичности.

Выполнен обзор и анализ циклограмм применяемых аналогов, для предприятий. При разработке конструкций выполнены необходимые расчеты по параметрам и геометрии элементов конструкции. Выполнение проекта осуществлено согласно техническому заданию, на основе технических рекомендаций.

Самостоятельная разработка технологического оборудования проводится на основе «курсового проектирования. Применены знания проектирования и технической эксплуатации автомобилей, а также разработки технологий его обслуживания и ремонта.

Проведены исследования вопросов обеспечения безопасных технологических процессов при основных работах для проектируемого прицепного устройства.» [7]

В дипломном проекте, представлена усовершенствованная планировка платформы учебно-производственного отделения «Формула-Студент». В производственном помещении спланирована эксплуатационная зона для базирования передвижного стапеля.

## **СПИСОК ИСПОЛЬЗУЕМЫХ ИСТОЧНИКОВ**

- 1 Черепанов Л.А. Расчет тяговой динамики и топливной экономичности автомобиля [Электронный ресурс] : электрон. учеб.-метод. пособие / Л. А. Черепанов ; ТГУ ; Ин-т машиностроения ; каф. "Проектирование и эксплуатация автомобилей". - ТГУ. - Тольятти : ТГУ, 2016. - 60 с. : ил.
- 2 Тракторы и автомобили : Конструкция : учеб. пособие для студентов вузов, обуч. по направлениям агроном. образования / О. И. Поливаев [и др.] ; под общ. ред. О. И. Поливаева. - Гриф УМО. - Москва : КНОРУС, 2016. - 252 с. : ил.
- 3 Малкин В. С. Устройство и эксплуатация технологического оборудования предприятий автомобильного транспорта [Электронный ресурс] : электрон. учеб. пособие / В. С. Малкин ; ТГУ ; Ин-т машиностроения ; каф. "Проектирование и эксплуатация автомобилей". - Тольятти : ТГУ, 2016. - 451 с. : ил.
- 4 Ременцов А. Н. Типаж и эксплуатация технологического оборудования : учеб. для студентов вузов, обуч. по направлению подготовки бакалавров "Эксплуатация транспортно-технол. машин и комплексов" / А. Н. Ременцов, Ю. Г. Сапронов, С. Г. Соловьев. - Гриф УМО. - Москва : Академия, 2015. - 302, [1] с. : ил.
- 5 Основы расчета и проектирования систем автоматического управления в машиностроении: учеб. пособие для студентов вузов, обуч. по направлению "Конструкторско-технол. обеспечение машиностр. пр-в" / О. И. Драчев [и др.]. - Гриф УМО. - Старый Оскол : ТНТ, 2016. - 167 с. : ил.
- 6 Халтурин Д.В., Испытание автомобилей и тракторов : практикум / Д.В. Халтурин, Н.И. Финченко, А.В. Давыдов - Томск : Изд-во Том. гос. архит.-строит. ун-та, 2017. - 172 с.

7 Виноградов, В. М. Ремонт и утилизация наземных транспортно-технологических средств : учеб. пособие / В. М. Виноградов, А. А. Черепахин, В. Ф. Солдатов. - Москва : ИНФРА-М, 2016. - 346 с. : ил.

8 Диагностирование автомобилей : практикум : учеб. пособие для вузов / А. Н. Карташевич [и др.] ; под ред. А. Н. Карташевича. - Минск : Новое знание, 2017 ; Москва : ИНФРА-М, 2017. - 207 с. : ил.

9 Блюменштейн, В. Ю. Проектирование технологической оснастки : учеб. пособие / В. Ю. Блюменштейн, А. А. Клепцов. - Изд. 3-е, стер. - Санкт-Петербург : Лань, 2014. - 224 с. : ил.

10 Головин С. Ф. Технический сервис транспортных машин и оборудования [Электронный ресурс] : учеб. пособие / С. Ф. Головин. - Москва : ИНФРА-М, 2018. - 282 с.

11 Воронов Д. Ю. Разработка сборочных технологических процессов [Электронный ресурс] : учеб.-метод. пособие / Д. Ю. Воронов, А. В. Щипанов ; ТГУ ; Ин-т машиностроения ; каф. "Оборудование и технологии машиностроит. пр-ва". - ТГУ. - Тольятти : ТГУ, 2017. - 140 с. : ил.

12 Тотай А. В. Детали машин. Современные средства и прогрессивные методы обработки : учеб. для акад. бакалавриата / А. В. Тотай, М. Н. Нагоркин, В. П. Федоров ; под общ. ред. А. В. Тотая. - Изд. 2-е, испр. и доп. ; гриф УМО. - Москва : Юрайт, 2016. - 286, [1] с. : ил.

13 Коваленко Н. А. Организация технического обслуживания и ремонта автомобилей [Электронный ресурс] : учеб. пособие / Н. А. Коваленко. - Минск : Новое знание, 2016 ; Москва : ИНФРА-М, 2016. - 229 с. : ил.

14 Зотов А. В. Системы автоматизированного проектирования технологических процессов [Электронный ресурс] : электрон. учеб.-метод. пособие / А. В. Зотов, А. А. Козлов ; ТГУ ; Ин-т машиностроения ; каф. "Оборудование и технологии машиностроит. пр-ва". - Тольятти : ТГУ, 2016. - 87 с.

15 Тверитнев, М.В. Англо-русский и русско-английский автомобильный словарь / М.В. Тверитнев.–М. : РУССО, 2001. – 492 с.

16 Лукин, П.П. Конструирование и расчет автомобиля / П.П. Лукин. - М.: Машиностроение, 1984. 376 с.

17 Щепетов А. Г. Основы проектирования приборов и систем : учеб. и практикум для акад. бакалавриата / А. Г. Щепетов. - Гриф УМО. - Москва : Юрайт, 2016. - 458 с. : ил.

18 Запорожцев, А.В. Износ шин и работа автомобиля / А.В. Запорожцев, Е.В. Кленников. – М. : НИИ информации автомоб. промышленности, 1971. – 52 с.

19 Павлов Д. А. Конструирование и расчет двигателей внутреннего сгорания : раздел "Кинематика и динамика ДВС" : учеб. пособие / Д. А. Павлов, В. В. Смоленский ; ТГУ ; Ин-т энергетики и электротехники ; каф. "Энергетические машины и системы управления". - ТГУ. - Самара : СамНЦ РАН, 2016. - 50 с. : ил.

20 Павлов Д. А. Конструирование и расчет двигателей внутреннего сгорания : Раздел "Расчет элементов конструирования ДВС". Определение теплонапряженности поршня и граничных условий теплообмена на поверхности отдельных элементов поршня : учеб. пособие / Д. А. Павлов, В. В. Смоленский ; ТГУ ; Ин-т энергетики и электротехники ; каф. "Энергетические машины и системы управления". - ТГУ. - Самара : СамНЦ РАН, 2016. - 76, [3] с. : ил.

21 Fleet Transition from Combustion to Electric Vehicles: A Case Study in a Portuguese Business Campus [Электронный ресурс] / Bruno Pinto, Filipe Barata, Constantino Soares, Carla Viveiros.. - Электрон. журн. - Switzerland: Energies, 2020. — URL

22 Regulations Hinder Development of Driverless Cars [Электронный ресурс]: новости The New York Times – URL

23 Сярдова О. М. Основы логистики [Электронный ресурс] : практикум / О. М. Сярдова, С. Е. Васильева, С. Ю. Данилова ; ТГУ ; Ин-т финансов, экономики и управления ; каф. "Менеджмент организации". - ТГУ. - Тольятти : ТГУ, 2016. - 92 с. : ил.

24 Nerush YM Transport logistics : textbook. for Acad. bachelor / Yu. M. Nerush, S. V. Sarkisov, 2016. - - URL.

25 Сысоев С. К. Технология машиностроения : Проектирование технол. процессов : учеб. пособие для студентов вузов, обуч. по направлению подготовки дипломир. специалистов "Конструкторско-технол. обеспечение машиностр. пр-в" / С. К. Сысоев, А. С. Сысоев, В. А. Левко. - Санкт-Петербург [и др.] : Лань, 2016. - 349 с. : ил.

26 Electric Vehicles: Perspectives and Challenges [Электронный ресурс] / Nicola Armaroli, Filippo Monti, Andrea Barbieri. - Электрон. журн. — Florence: Firenze University Press, 2019. - URL

27 Бондаренко Е. В. Основы проектирования и эксплуатации технологического оборудования : учеб. для студентов вузов, обуч. по направлению подготовки бакалавров "Эксплуатация транспортно-технол. машин и комплексов" (профиль подготовки "Автомобили и автомобил. хоз-во") / Е. В. Бондаренко, Р. С. Фаскиев. - Гриф УМО. - Москва : Академия, 2015. - 302, [1] с. : ил.

28 Денисов А. С. Практикум по технической эксплуатации автомобилей : учеб. пособие для студентов вузов, обуч. по направлению подготовки бакалавров "Эксплуатация транспортно-технол. машин и комплексов" / А. С. Денисов, А. С. Гребенников. - 3-е изд., перераб. ; Гриф УМО. - Москва : Академия, 2016. - 240 с. : ил

29 Карташевич А. Н. Тракторы и автомобили. Конструкция [Электронный ресурс] : учеб. пособие / А. Н. Карташевич, О. В. Понталев, А. В. Гордеенко ; под ред. А. Н. Карташевича . - Минск : Новое знание, 2013 ; Москва : ИНФРА-М, 2013. - 313 с. : ил.

30 Иванов В. П. Оборудование и оснастка промышленного предприятия [Электронный ресурс] : учеб. пособие / В. П. Иванов, А. В. Крыленко. - Минск : Новое знание ; Москва : ИНФРА-М, 2016. - 235 с. : ил.

31 Диагностирование автомобилей [Электронный ресурс] : практикум : учеб. пособие для вузов / А. Н. Карташевич [и др.] ; под ред. А. Н. Карташевича . - Минск : Новое знание, 2017 ; Москва : ИНФРА-М, 2017. - 207 с. : ил.

32 Карташевич А. Н. Топливо, смазочные материалы и технические жидкости [Электронный ресурс] : учеб. пособие / А. Н. Карташевич, В. С. Товстыка, А. В. Гордеенко ; Под ред. А. Н. Карташевича. - Минск : Новое знание, 2016 ; Москва : ИНФРА-М, 2016. - 421 с. : ил.

33 Modelling the Effect of Driving Events on Electrical Vehicle Energy Consumption Using Inertial Sensors in Smartphones [Электронный ресурс] / David Jiménez, Sara Hernández, Jesús Fraile-Ardanuy, и др. - Электрон. журн. - Switzerland: MDPI AG, 2018. - URL

34 Виноградов В. М. Технологические процессы автоматизированных производств [Электронный ресурс] : учебник / В. М. Виноградов, В. В. Клепиков, А. А. Черепахин. - Москва : КУРС : ИНФРА-М , 2017. - 272 с. : ил.

35 Блюменштейн В. Ю. Проектирование технологической оснастки [Электронный ресурс] : учеб. пособие / В. Ю. Блюменштейн, А. А. Клепцов. - Изд. 3-е, стер. - Санкт-Петербург : Лань, 2014. - 224 с. : ил.

36 Горина, Л.Н. Безопасность и экологичность объекта дипломного проекта / Методические указания к дипломному проектированию [Текст] / – Тольятти: ТГУ, 2003. – 17с.

37 Сафонов, В.А. Экономика предприятия: Учебник [Текст] / В.А. Сафонов. – М. : «Юрист», 2005.

38 Pia, G. Pistons and engine testing[Text]/G.Pia.-Springer Vieweg, 2016.– P. 295

# ПРИЛОЖЕНИЕ А

## Спецификация

Ном. позиц.	Ном. лист	Ном. и дата	Взам. ном. №	Изм. № докл.	Подп.	Дата	Обозначение		Наименование		Кол.	Примечание
							Формат	Зона	Поз.			
<u>Документация</u>												
A1							20.ДП.ПЭА.14.9.6.1.00.000СБ			Сборочный чертеж		
A4							20.ДП.ПЭА.14.9.6.1.00.000ПЗ			Пояснительная записка		
<u>Сборочные единицы</u>												
Б4	1		20.ДП.ПЭА.14.9.6.1.01.000							Рама в сборе	1	
Б4	2		20.ДП.ПЭА.14.9.6.1.02.000							Платформа в сборе	1	
Б4	3		20.ДП.ПЭА.14.9.6.1.03.000							Стойка в сборе	8	
Б4	4		20.ДП.ПЭА.14.9.6.1.04.000							Гидроцилиндр в сборе	1	
Б4	5		20.ДП.ПЭА.14.9.6.1.05.000							Насос масляный в сборе	1	
Б4	6		20.ДП.ПЭА.14.9.6.1.06.000							Трудопровод в сборе	1	
Б4	7		20.ДП.ПЭА.14.9.6.1.07.000							Колесо неповоротное в сборе	2	
Б4	8		20.ДП.ПЭА.14.9.6.1.08.000							Стойка опорная в сборе	2	
<u>Детали</u>												
	11		20.ДП.ПЭА.14.9.6.1.00.011							Швейлер 80x60x1600	2	
	12		20.ДП.ПЭА.14.9.6.1.00.012							Труба 70x40x1000	1	
	13		20.ДП.ПЭА.14.9.6.1.00.013							Труба 70x40x960	1	
	14		20.ДП.ПЭА.14.9.6.1.00.014							Полоса 8x140x720	3	
	15		20.ДП.ПЭА.14.9.6.1.00.015							Полоса 8x50x680	4	
	16		20.ДП.ПЭА.14.9.6.1.00.016							Рукоять	1	
	17		20.ДП.ПЭА.14.9.6.1.00.017							Швейлер 80x60x1030	2	
	18		20.ДП.ПЭА.14.9.6.1.00.018							Швейлер 70x30x680	2	
20.ДП.ПЭА.14.9.6.1.00.000												
Изм.	Лист	Nº докум.	Подп.	Дата								
Разраб.	Исаев											
Проб.	Турбин											
Иконстр.	Турбин											
Утв.	Бобровский											
Стапель передвижной												
ПГУ, ИМ зр. АТ-1502												
Копировал												
Формат A4												
Лист 1 из 3												

## Продолжение Приложения А

## Продолжение Приложения А